



UNIVERSITÄT
LEIPZIG

Rasterung

COMPUTERGRAPHIK

Inhaltsverzeichnis

3 Rasterung

3.1 Rasterung von Geraden DDA

3.2 Rasterung von Geraden Bresenham

3.3 Rasterung von Kreisen

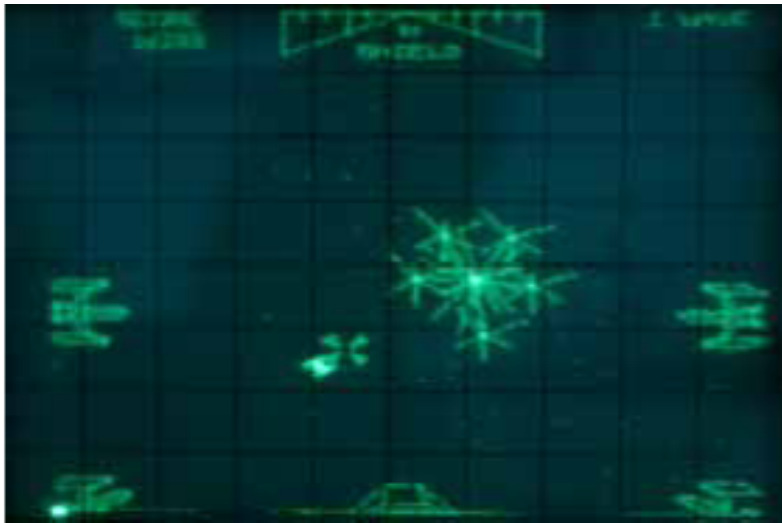
3.4 Füllalgorithmen

3.5 Aliasing

3. Rasterung

Darstellungsmöglichkeiten

- Vektordarstellung
 - Plotter, Elektronenstrahl (Oszilloskop)
 - Einzelne Linien (Vektoren) werden gezeichnet
 - Bild setzt sich aus Linien zusammen
 - Eingeschränkte Darstellungsmöglichkeiten



3. Rasterung

Darstellungsmöglichkeiten

- Rasterdisplays
 - Bild wird in Bildpunkte diskretisiert
 - Erfordert Framebuffer (Bildspeicher)
 - Speichert die Bitmap des angezeigten Bildes
 - Digitale Kopie des Monitorbildes
 - Heutzutage doppelt oder dreifach gepuffert

Speicherbedarf:

$1024 \times 768 \times \text{TrueColor} \approx 2,25 \text{ MB}$

$1920 \times 1200 \times \text{TrueColor} \approx 6,6 \text{ MB}$

$2560 \times 1600 \times \text{TrueColor} \approx 12 \text{ MB}$

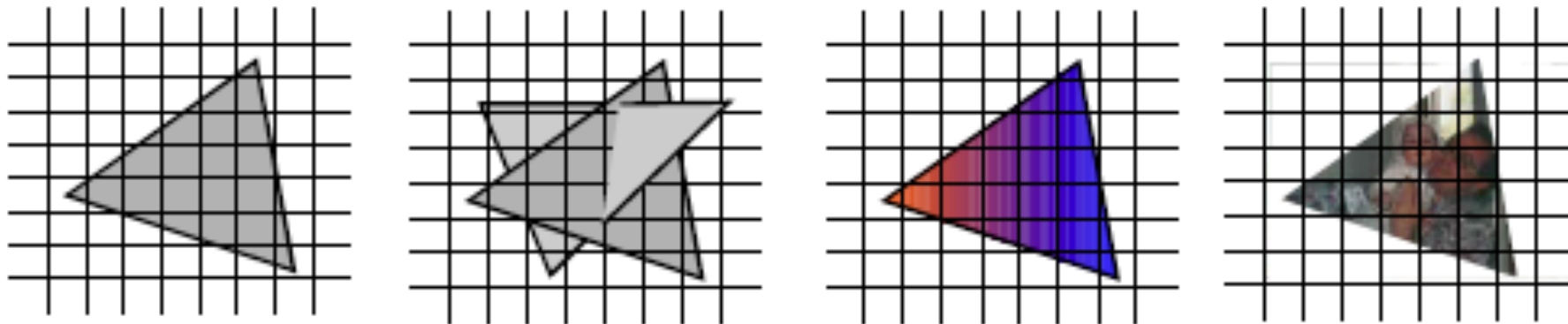
Truecolor:

- 24 Bit
- Je ein Byte (8 Bit) für R, G und B
- $2^{24} = 16.777.216$

3. Rasterung

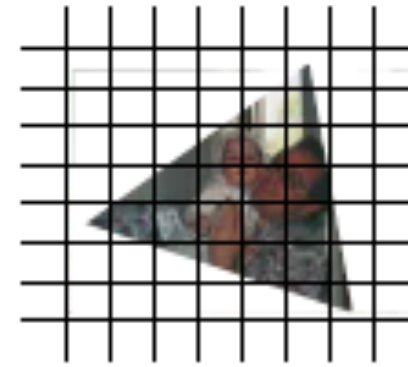
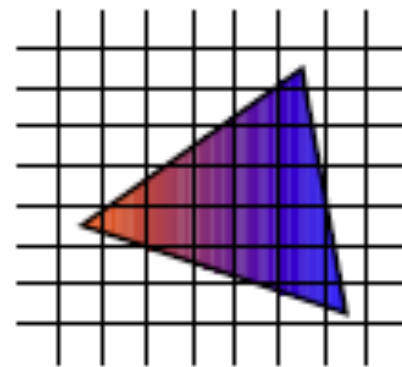
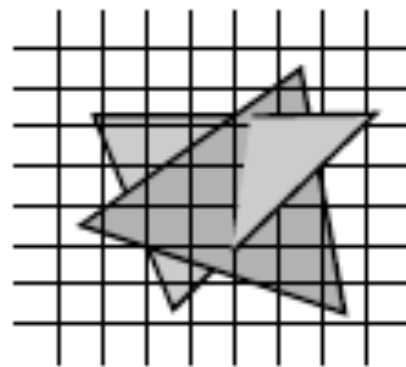
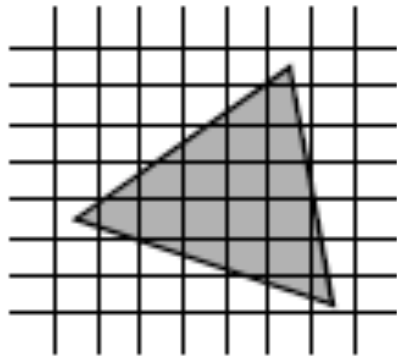
- Die dominierenden Rasterbildschirme erfordern die „Zerlegung“ aller darzustellenden geometrischen Objekte in Bildschirmpunkte
- Dieser Prozess wird auch als Rasterung bezeichnet

- Dies ist die Aufgabe der Bilderzeugungseinheit DPU (Display Processing Unit) des Bildrechners: Rastereinheit/ Rasterprozessor



3. Rasterung

- Wir beschäftigen uns näher mit:
 - Rasterung von Geraden, Kreisen, Ellipsen, Polygonen
 - Antialiasing von Linien und Polygonen



3.1 Rasterung von Geraden

Problemstellung

- Darstellung einer Linie auf einem Rasterbildschirm erfordert die Bestimmung der „am besten passenden“ Punkte im Raster bzw. Gitter (geeignete ganzzahlige Rundung)

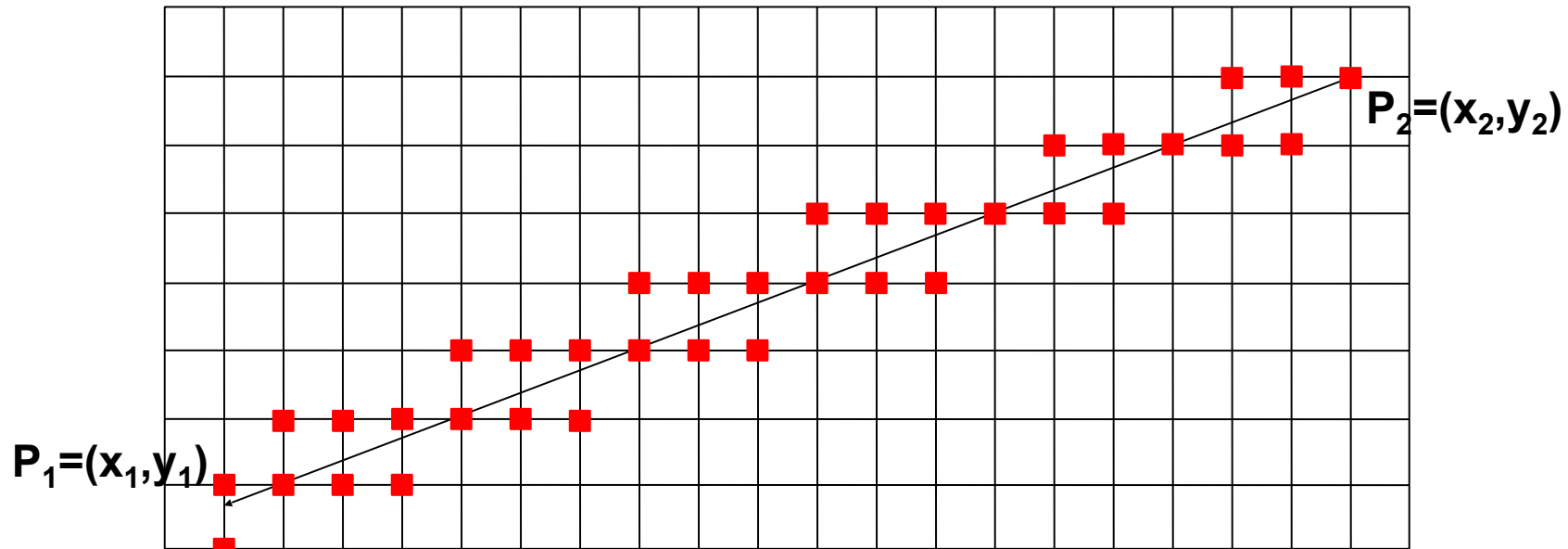


Abb. 2.1: Mögliche Rasterkandidaten

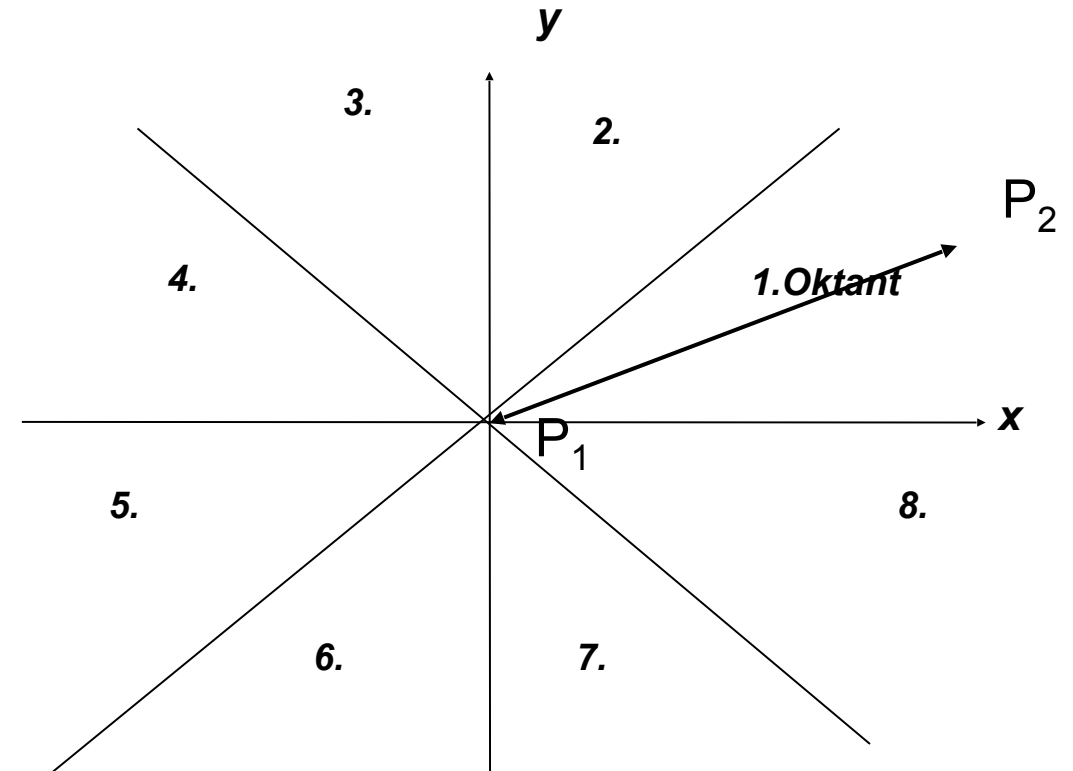
3.1 Rasterung von Geraden

Anforderungen

- Geraden
 - sollen gerade erscheinen
 - sollen gleichmäßig hell erscheinen
 - sollen schnell gezeichnet werden
- Algorithmus
 - soll leicht in Hardware implementierbar sein

3.1 Rasterung von Geraden

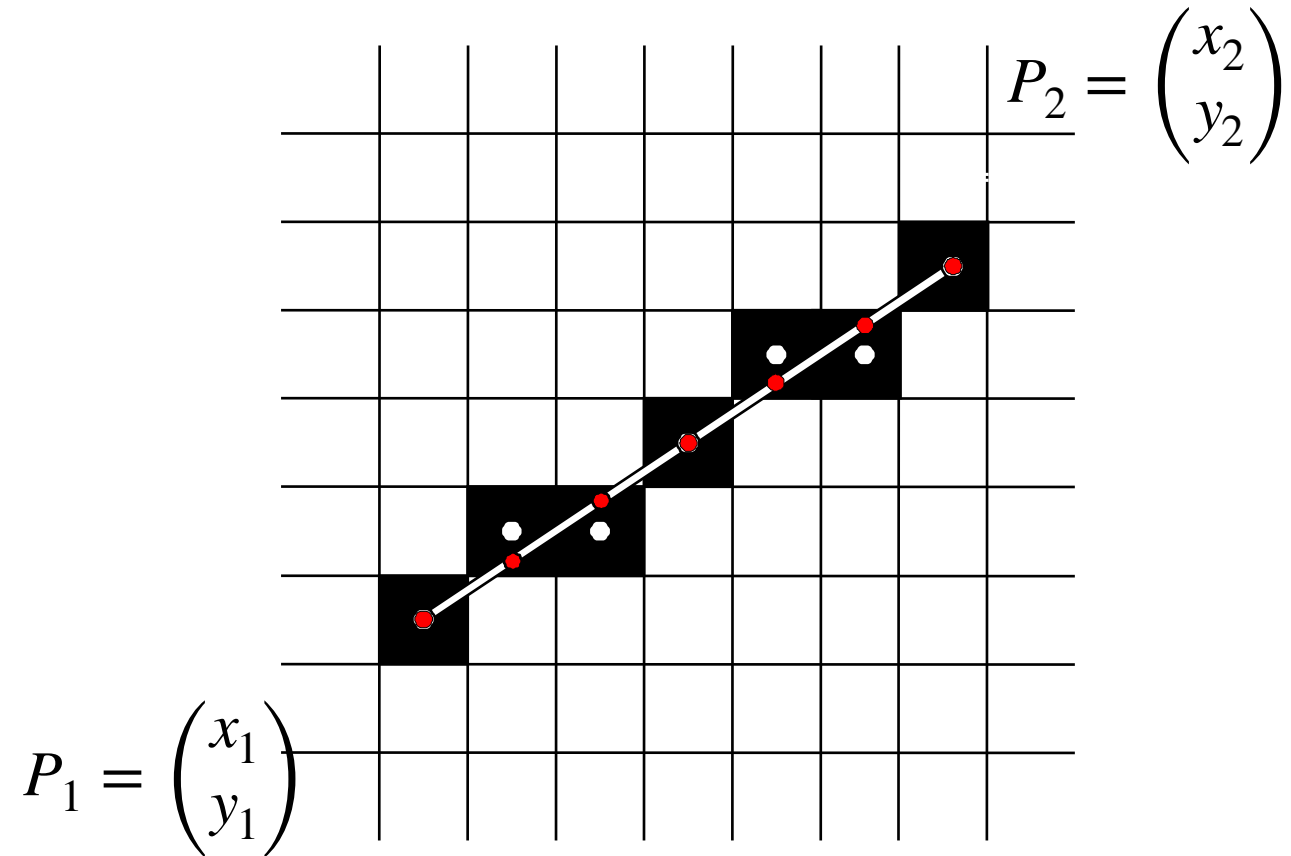
- Fallunterscheidung in Oktanten (nach Steigung)
- Hier:
 - Ursprung des zugeordneten Koordinatensystems in P_1
 - 1. Oktant
 - P_1 und P_2 auf Rastergitter



3.1 Rasterung von Geraden: DDA

DDA-Algorithmus für Geraden [1930er]

- DDA
 - Digital Differential Analyzer
 - Digitaler Integrierer
- Ein DDA-Algorithmus generiert eine Kurve (nicht nur eine Gerade) aus einer beschreibenden Differentialgleichung



3.1 Rasterung von Geraden: DDA

Geradengleichung: $y = ax + b$

$\Delta x =$

$\Delta y =$

$a =$

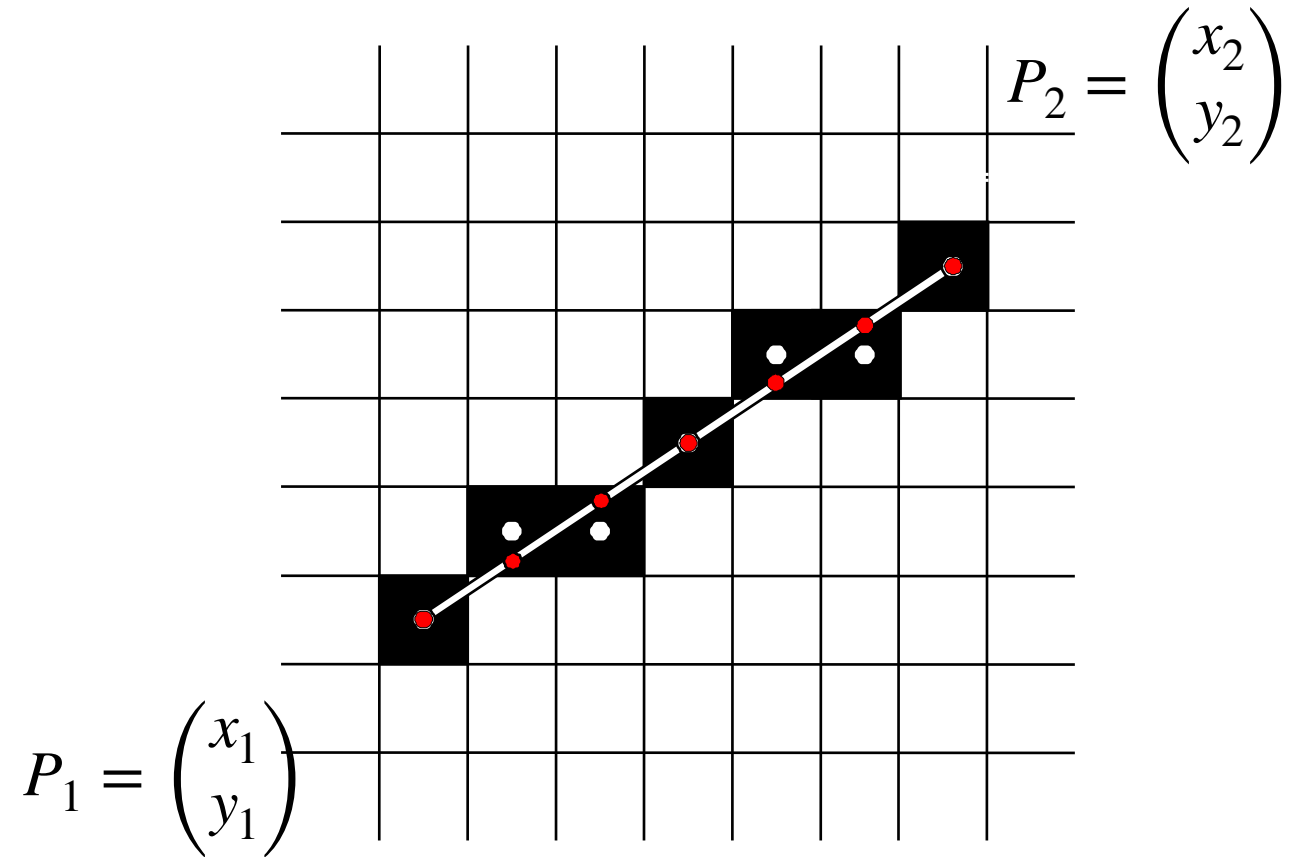
$b =$

Direkte Berechnung: $\forall i = 1, \dots, \Delta x :$

$x_{i+1} =$

$y_{i+1} =$

Plus Rundung



3.1 Rasterung von Geraden: DDA

Geradengleichung: $y = ax + b$

$$\Delta x = x_2 - x_1$$

$$\Delta y = y_2 - y_1$$

$$a = \frac{\Delta y}{\Delta x}, 0 \leq a \leq 1$$

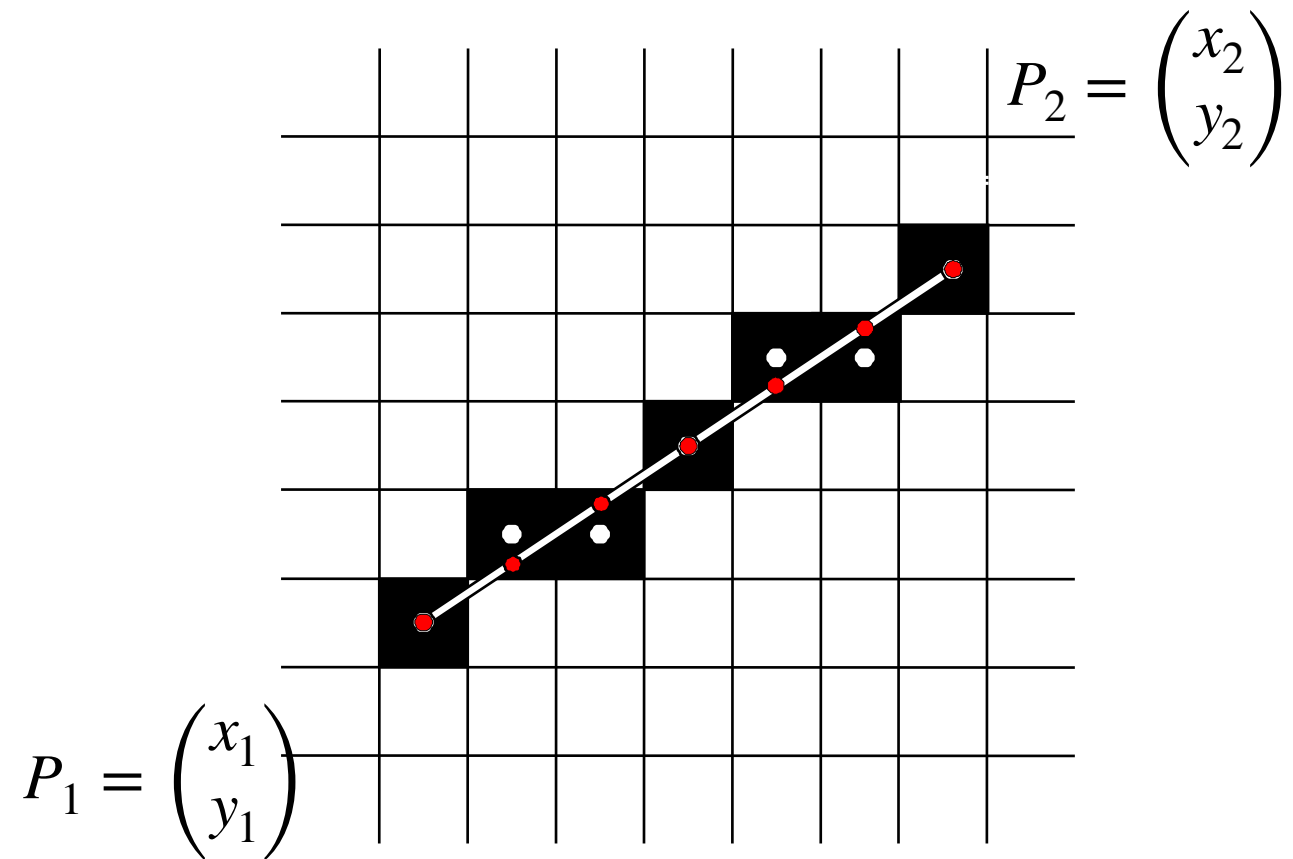
$$b = ax_1 - y_1$$

Direkte Berechnung: $\forall i = 1, \dots, \Delta x :$

$$x_{i+1} = x_i + 1$$

$$y_{i+1} = ax_{i+1} + b$$

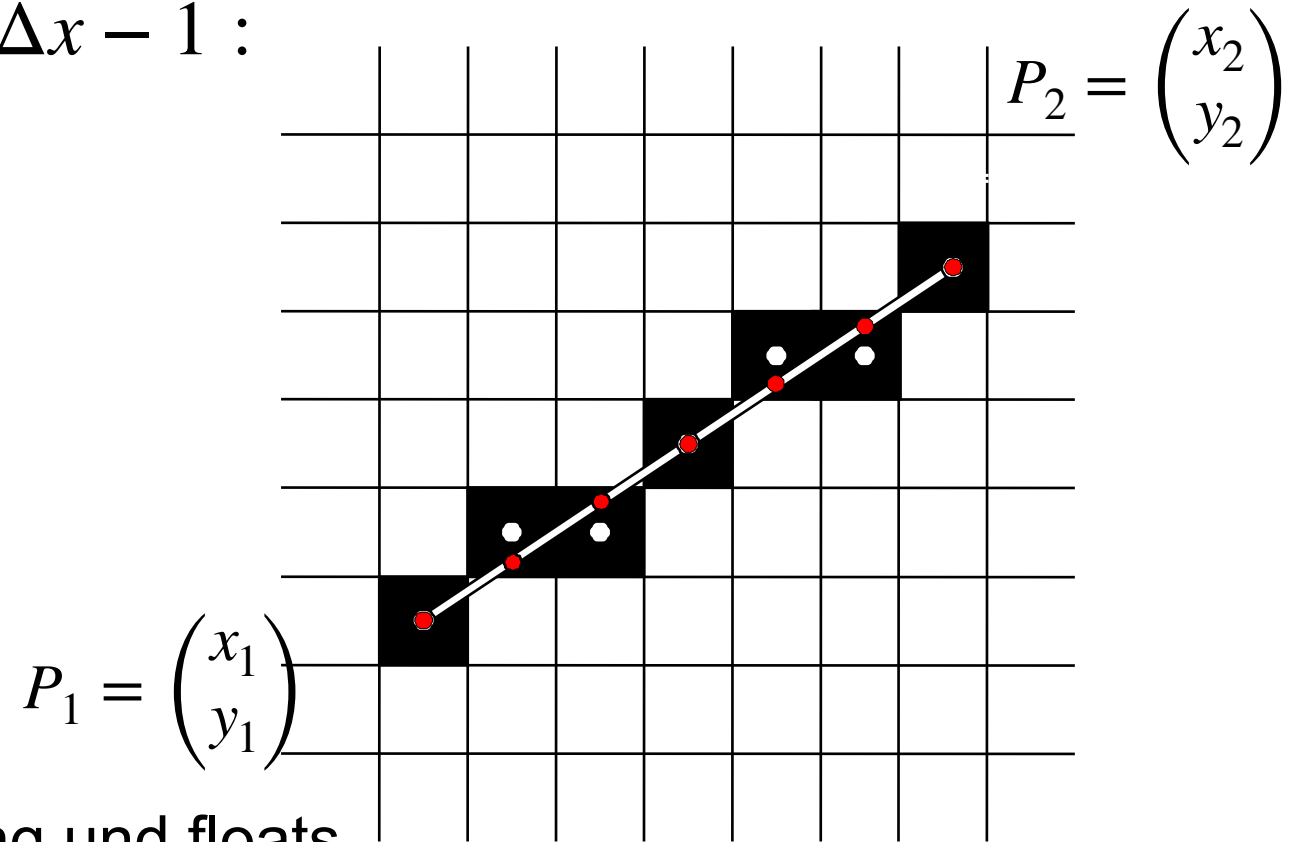
Plus Rundung



3.1 Rasterung von Geraden: DDA

Inkrementelle Berechnung: $\forall i = 0, \dots, \Delta x - 1$:

$$y_{i+1} = ax_{i+1} + b$$



Vorteil: schneller

Nachteil beide: ungenau durch Rundung und floats

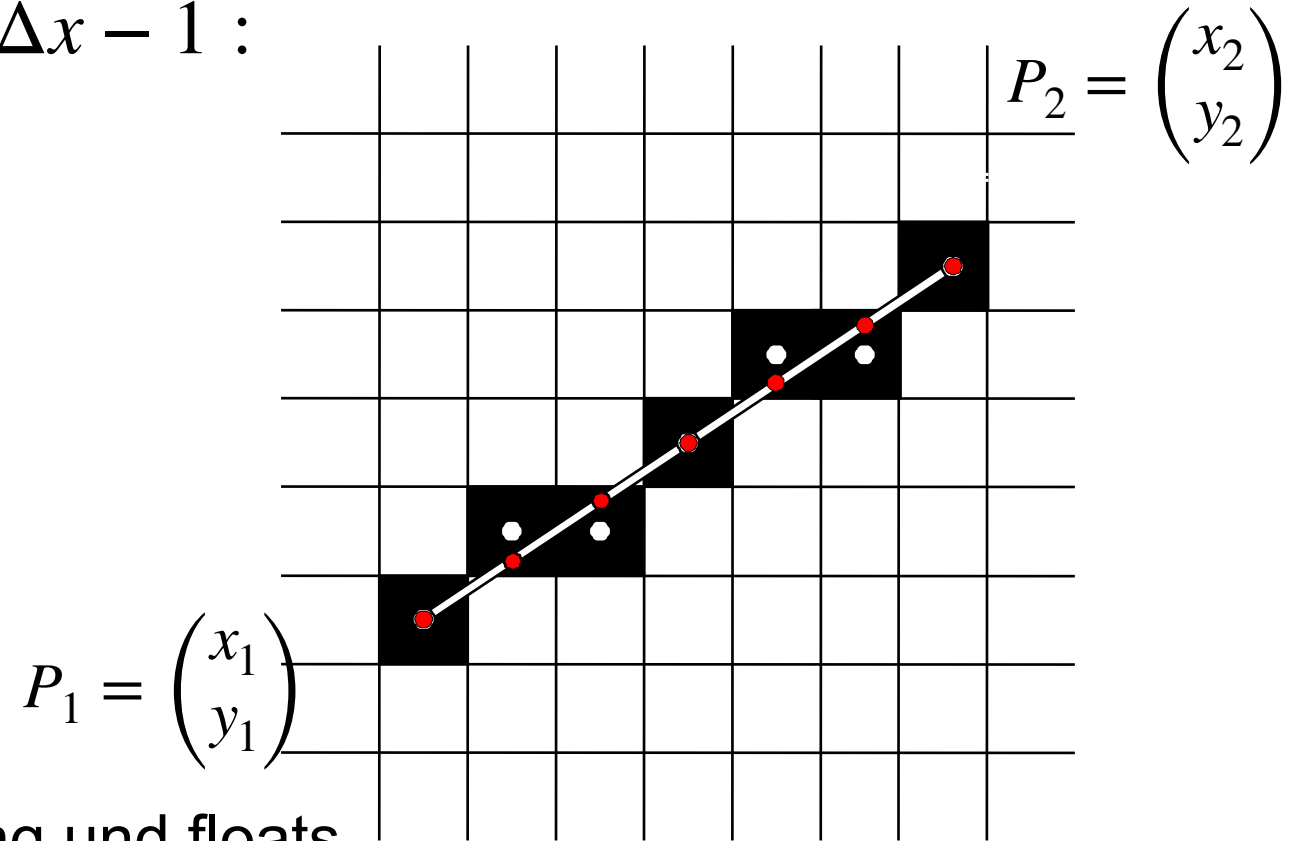
3.1 Rasterung von Geraden: DDA

Inkrementelle Berechnung: $\forall i = 0, \dots, \Delta x - 1$:

$$\begin{aligned}y_{i+1} &= ax_{i+1} + b \\ &= a(x_i + 1) + b \\ &= ax_i + b + a \\ &= y_i + a \\ &= y_i + \frac{\Delta y}{\Delta x}\end{aligned}$$

Vorteil: schneller

Nachteil beide: ungenau durch Rundung und floats



3.2 Rasterung von Geraden: Bresenham

Bresenham-Algorithmus für Geraden [1962]

- Idee:
 - Abhängig von der Steigung der Geraden wird die x - oder y -Koordinate immer um genau eine Einheit geändert
 - Die andere Koordinate wird entweder nicht oder ebenfalls um eine Einheit geändert
 - Fallunterscheidung nach der kleineren Abweichung der Geraden zum nächsten Gitterpunkt in Koordinatenrichtung

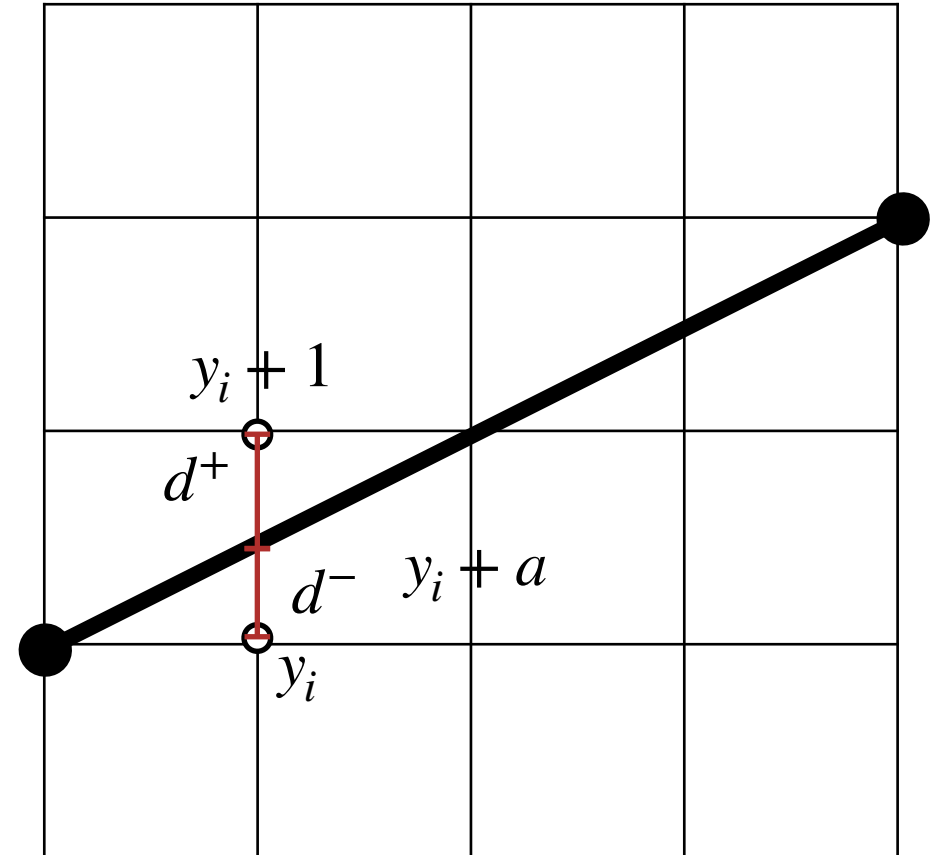
3.2 Rasterung von Geraden: Bresenham

- Entweder **Punkt 1** oder **Punkt 2** wird gezeichnet, je nachdem, welcher näher zur **Geraden** liegt

d^-

d^+

- Gehe nach oben, wenn $d^+ < d^-$



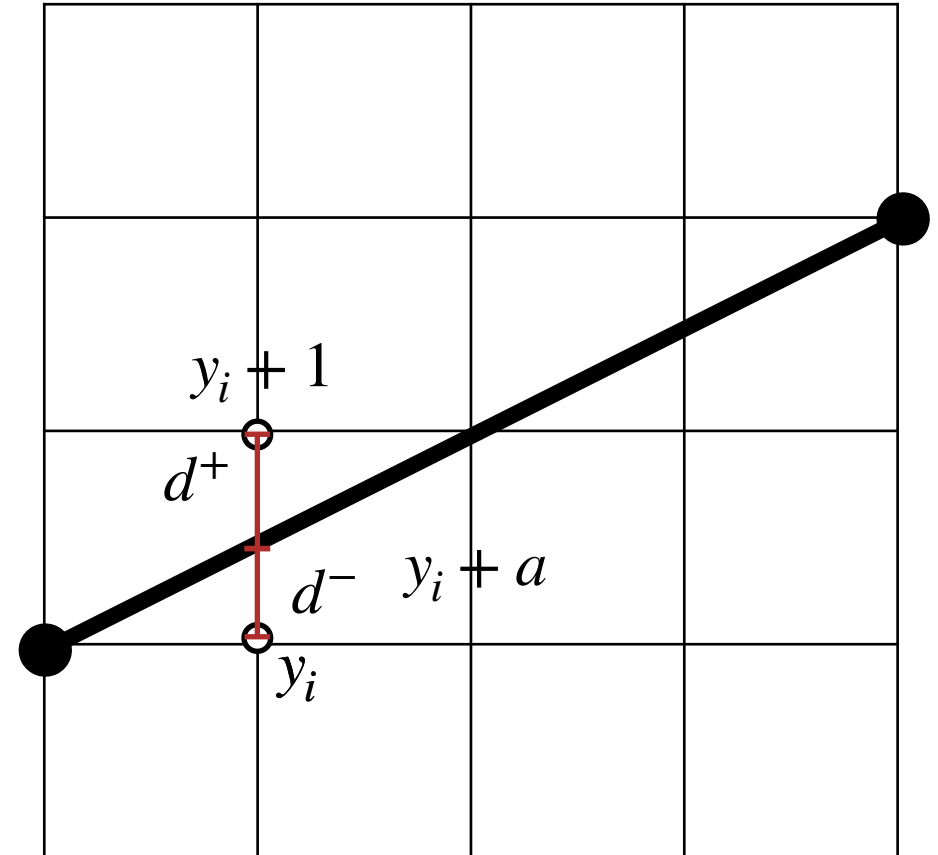
3.2 Rasterung von Geraden: Bresenham

- Entweder **Punkt 1** oder **Punkt 2** wird gezeichnet, je nachdem, welcher näher zur **Geraden** liegt

$$\begin{aligned}d^- &= y_i + a - y_i \\ &= a\end{aligned}$$

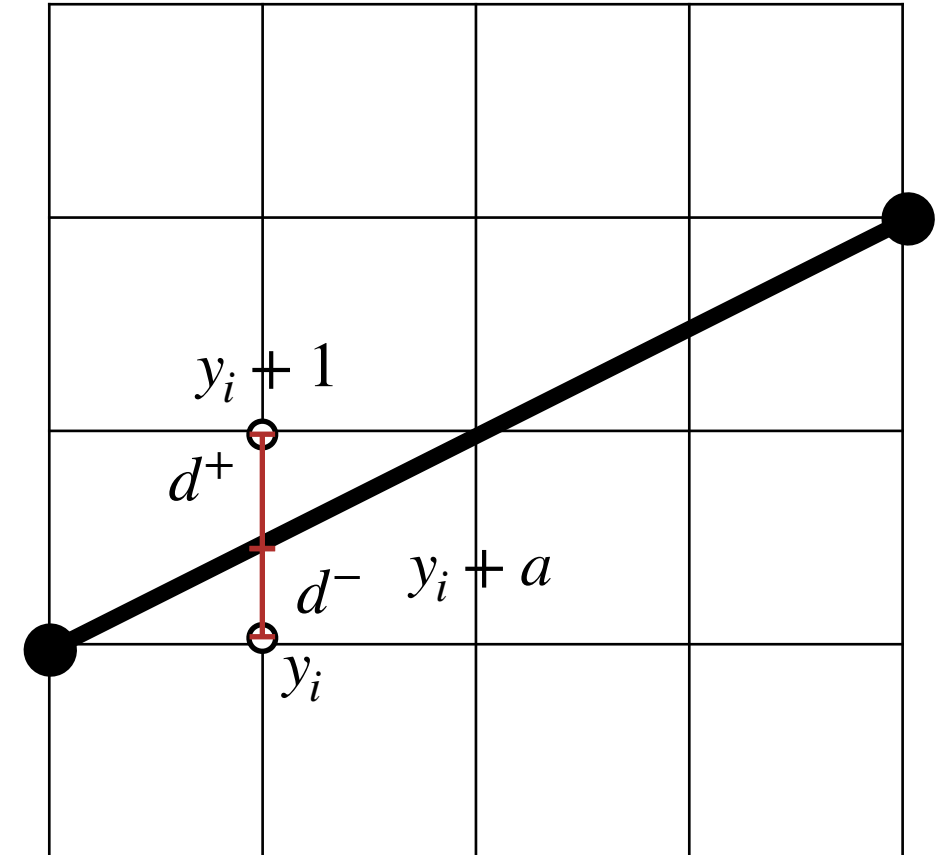
$$\begin{aligned}d^+ &= y_i + 1 - (y_i + a) \\ &= 1 - a\end{aligned}$$

- Gehe nach oben, wenn $d^+ < d^-$



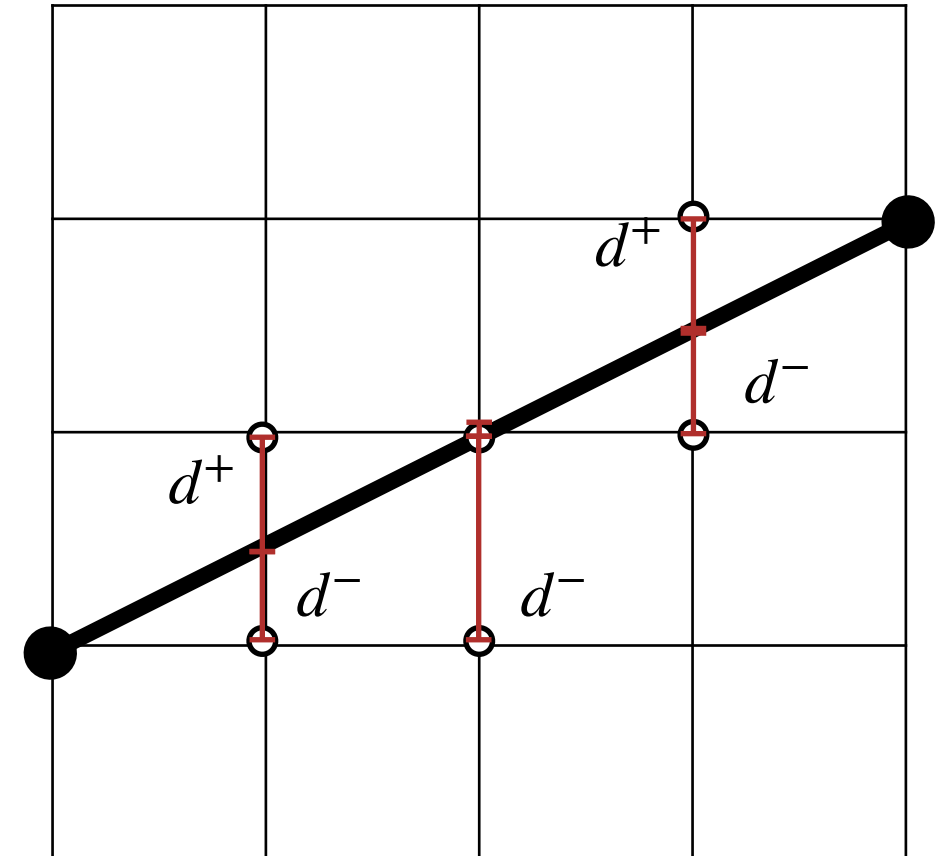
3.2 Rasterung von Geraden: Bresenham

- Zur Realisierung wird eine **Entscheidungsgröße E** eingeführt:
 $E := d^- - d^+$
- Gehe nach oben, wenn
 $d^+ < d^- \Leftrightarrow E > 0$
- Das **Vorzeichen von E** dient dann als Kriterium für die Rundung auf den nächsten Rasterpunkt:
 - $E \leq 0 : x++$
 - $E > 0 : x++, y++$



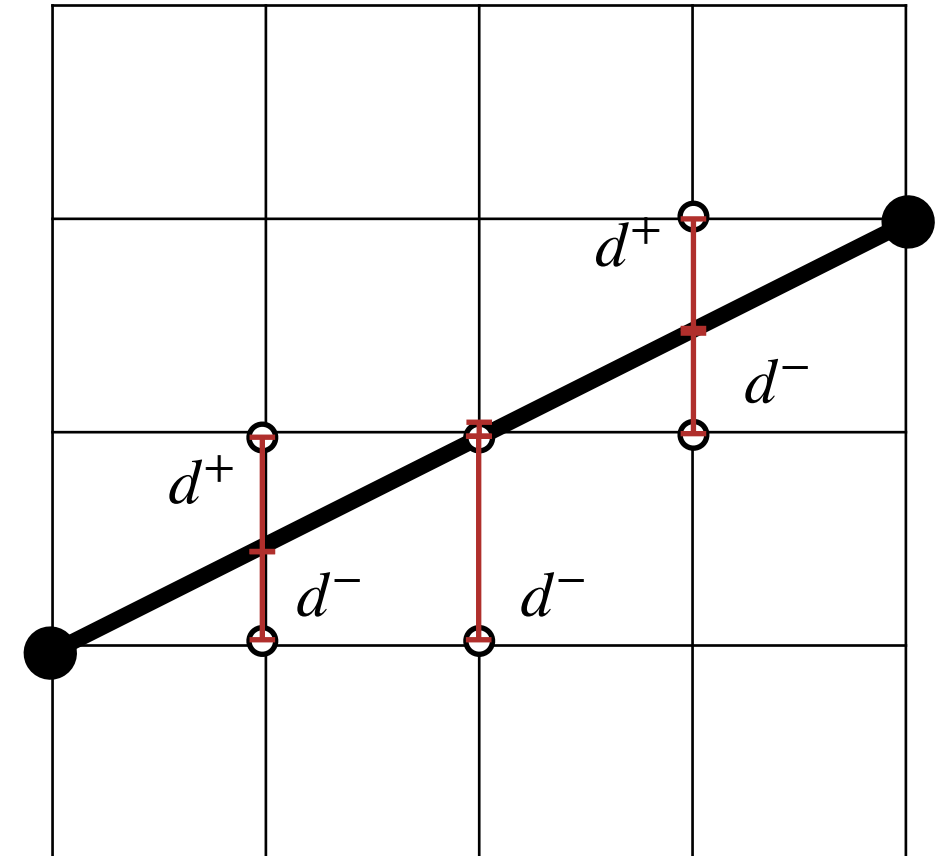
3.2 Rasterung von Geraden: Bresenham

- Zur schnelleren Berechnung, kann E **inkrementell** berechnet werden
- Das **Vorzeichen von E** dient dann als Kriterium für die Rundung auf den nächsten Rasterpunkt und die Aktualisierung von E :
 - $E \leq 0 : x++ ,$
 d^+
 d^-
 E
 - $E > 0 : x++ , y++ ,$
 d^+
 d^-
 E



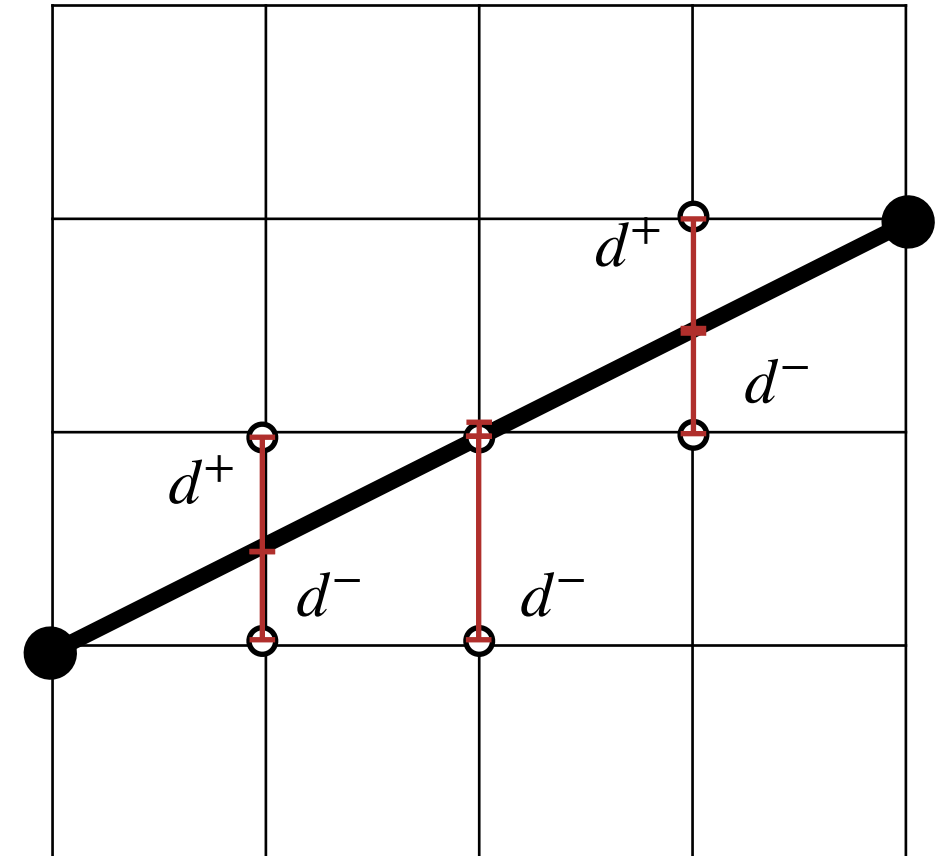
3.2 Rasterung von Geraden: Bresenham

- Zur schnelleren Berechnung, kann E **inkrementell** berechnet werden
- Das **Vorzeichen von E** dient dann als Kriterium für die Rundung auf den nächsten Rasterpunkt und die Aktualisierung von E :
 - $E \leq 0 : x ++,$
 $d^+ - = a$
 $d^- + = a$
 $E + = 2a$
 - $E > 0 : x ++, y ++,$
 $d^+ + = 1 - a$
 $d^- - = 1 - a$
 $E + = 2a - 2$



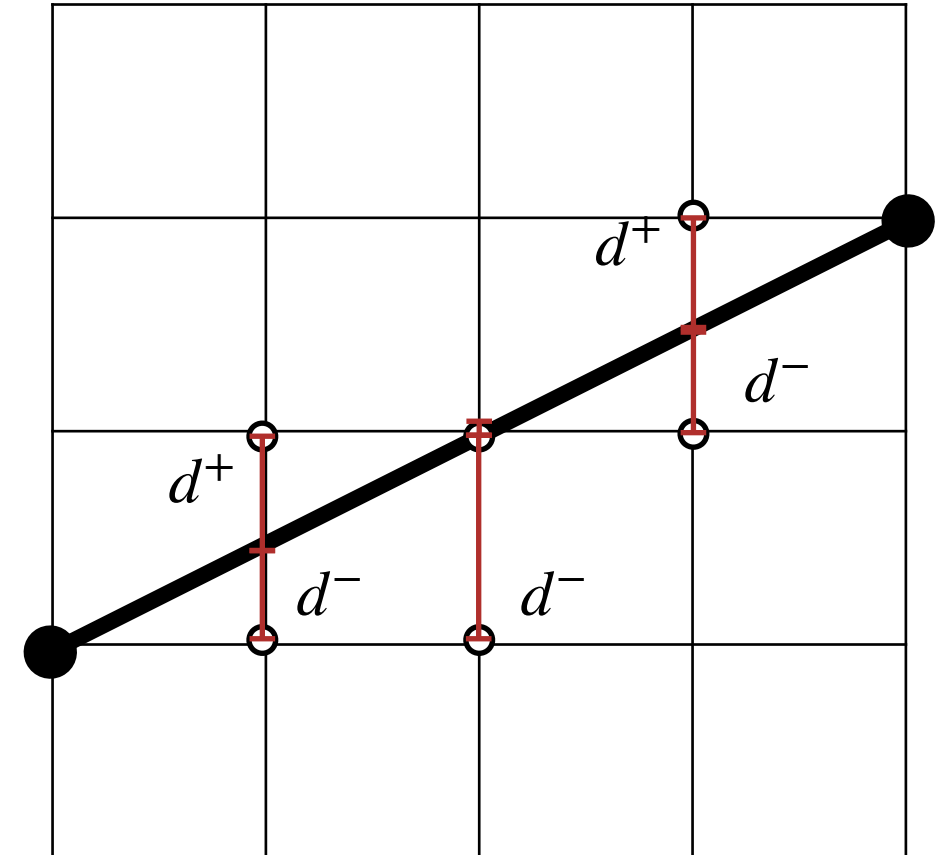
3.2 Rasterung von Geraden: Bresenham

- Zur Vermeidung der Division wird **Entscheidungsgröße e** eingeführt:
 $e := \Delta x E$
- Gehe nach oben, wenn
 $E > 0 \Leftrightarrow e > 0$
- Das **Vorzeichen von e** dient dann als Kriterium für die Rundung auf den nächsten Rasterpunkt:
 - $e \leq 0 : x++$,
 - $e > 0 : x++, y++$,



3.2 Rasterung von Geraden: Bresenham

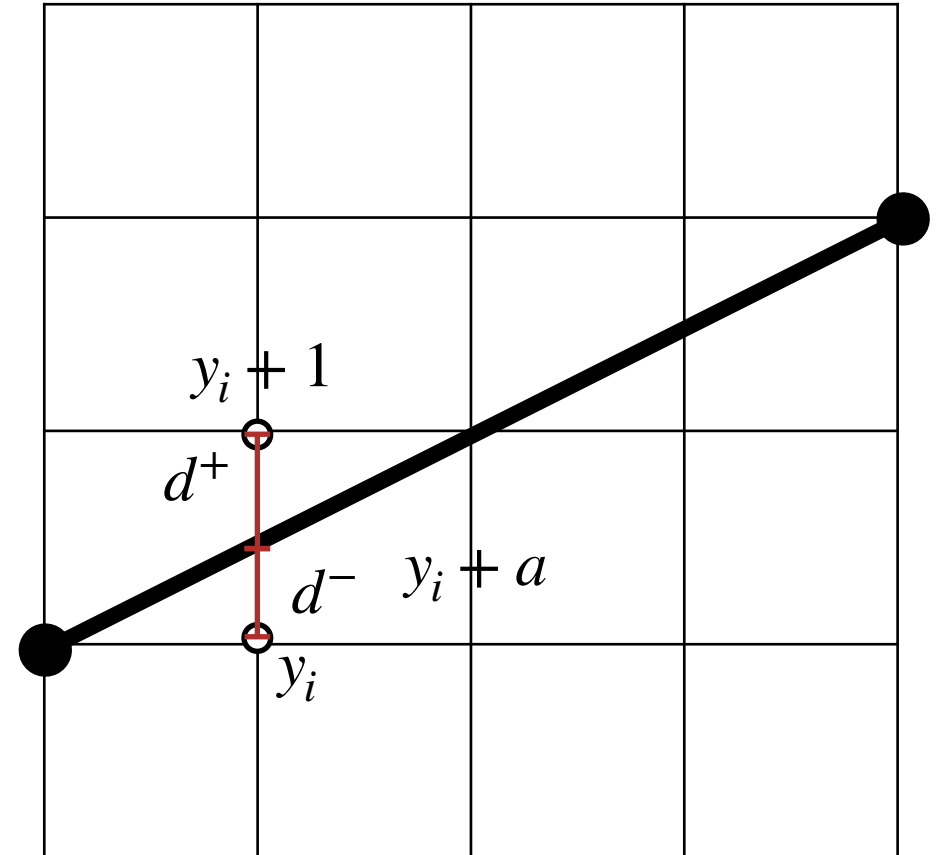
- Zur Vermeidung der Division wird **Entscheidungsgröße e** eingeführt:
 $e := \Delta x E$
- Gehe nach oben, wenn
 $E > 0 \Leftrightarrow e > 0$
- Das **Vorzeichen von e** dient dann als Kriterium für die Rundung auf den nächsten Rasterpunkt:
 - $e \leq 0 : x ++, \quad e + = 2\Delta y$
 - $e > 0 : x ++, y ++, e + = 2\Delta y - 2\Delta x$



3.2 Rasterung von Geraden: Bresenham

– Startwerte:

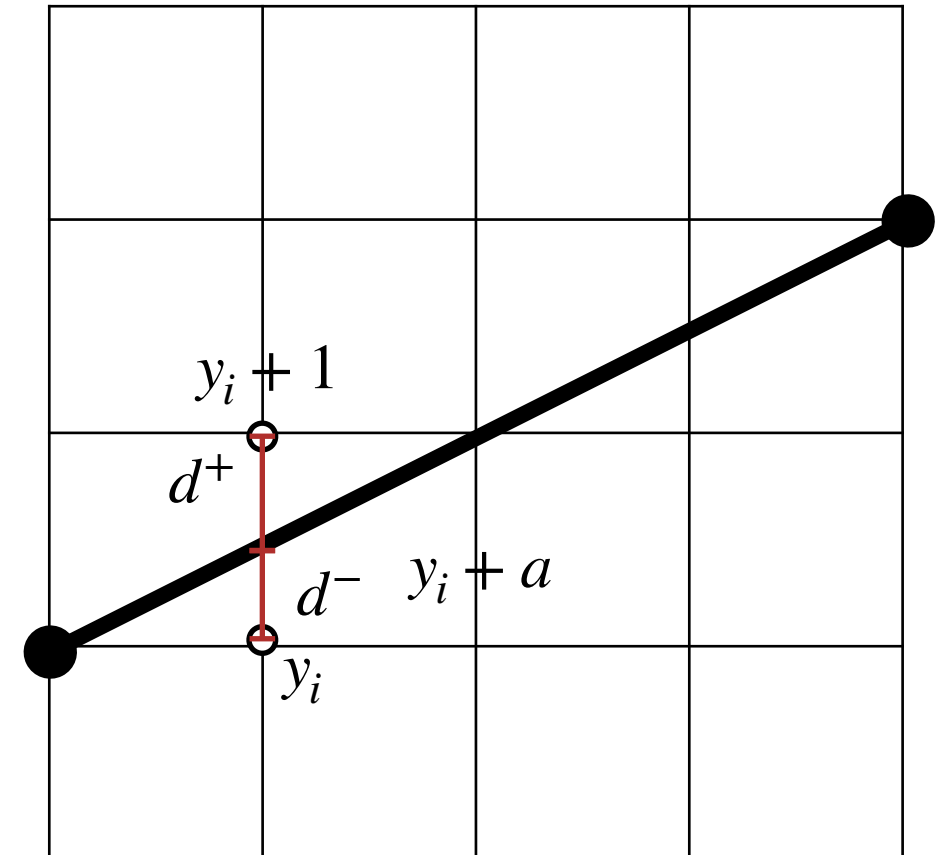
e_1



3.2 Rasterung von Geraden: Bresenham

– Startwerte:

$$\begin{aligned}e_1 &= \Delta x E_1 \\ &= \Delta x(d_1^- - d_1^+) \\ &= \Delta x(a - (1 - a)) \\ &= \Delta x(2a - 1) \\ &= \Delta x\left(2\frac{\Delta y}{\Delta x} - 1\right) \\ &= 2\Delta y - \Delta x\end{aligned}$$



3.2 Rasterung von Geraden: Bresenham

```
// (x1, y1), (x2, y2) Ganzzahlig
// x1 < x2, y1 < y2
x = x1; y = y1;
dx = x2 - x1; dy = y2 - y1;
e = 2 * dy - dx; // Initialisierung
for(i = 1; i <= dx; i++){
    // Schleife fuer x
    plot(x, y);
    if (e >= 0) {
        // oberen Punkt Zeichnen (y erhoehen)
        ++y;
        e -= 2 * dx;
    }
    ++x;
    e += 2 * dy;
}
plot(x, y);
```

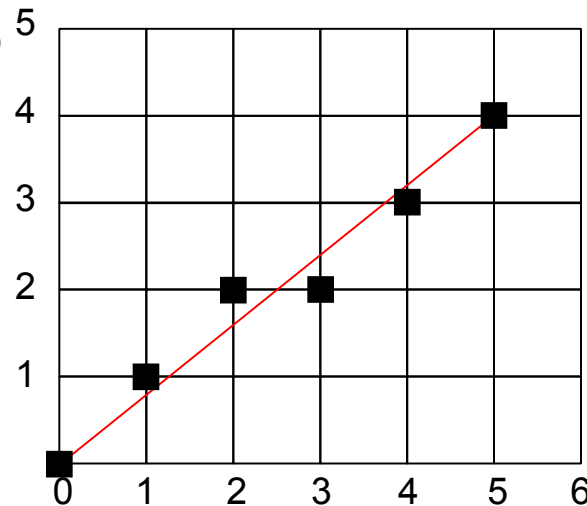
- Erster Oktant
- Ausschließlich ganzzahlige Operanden

3.2 Rasterung von Geraden: Bresenham

```
// (x1, y1), (x2, y2) Ganzzahlig
// x1 < x2, y1 < y2
x = x1; y = y1;
dx = x2 - x1; dy = y2 - y1;
e = 2 * dy - dx; // Initialisierung
for(i = 1; i <= dx; i++){
    // Schleife fuer x
    plot(x, y);
    if (e >= 0) {
        // oberen Punkt Zeichnen (y erhoehen)
        ++y;
        e -= 2 * dx;
    }
    ++x;
    e += 2 * dy;
}
plot(x, y);
```

Beispiel:

- P1=(0, 0)
- P2=(5, 4)

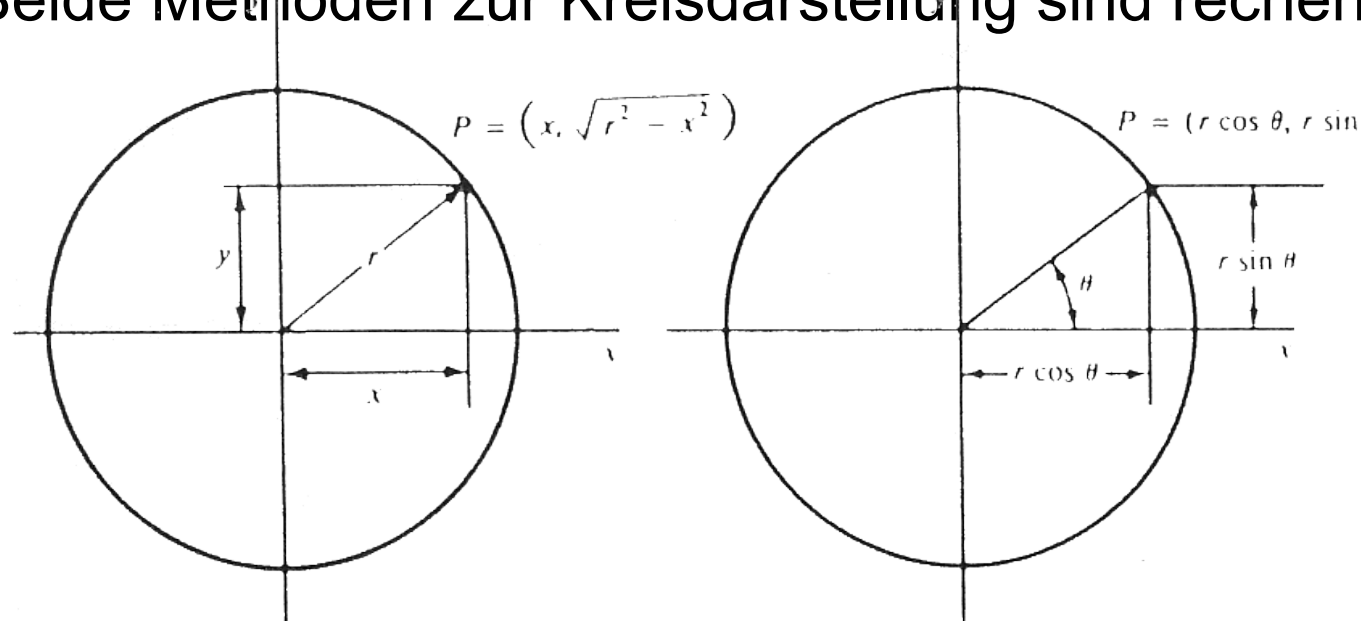


x	y	e	i	plot
0	0	3	1	(0, 0)
	1	-7		
1		1	2	(1, 1)
	2	-9		
2		-1	3	(2, 2)
3		7	4	(3, 2)
	3	-3		
4		5	5	(4, 3)
	4	-5		
5		3	6	
				(5, 4)

3.3 Rasterung von Kreisen

Darstellung eines Kreises mit Mittelpunkt (x_M, y_M) und Radius r

- Implizit: $f(x, y) = (x - x_M)^2 + (y - y_M)^2 - r^2 = 0$
- Parameter: $x(\theta) = x_M + r \cdot \cos\theta$, $y(\theta) = y_M + r \cdot \sin\theta$, $\theta \in [0, 2\pi[$
- Nachteil: Beide Methoden zur Kreisdarstellung sind rechenaufwändig

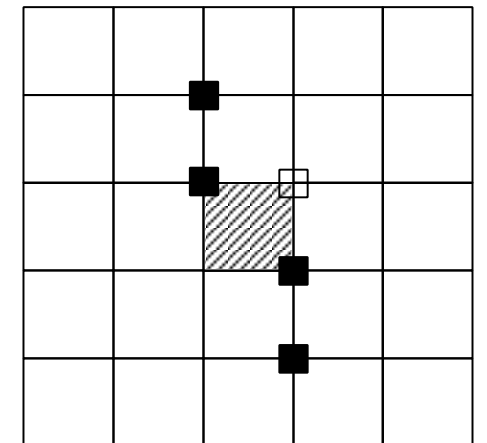
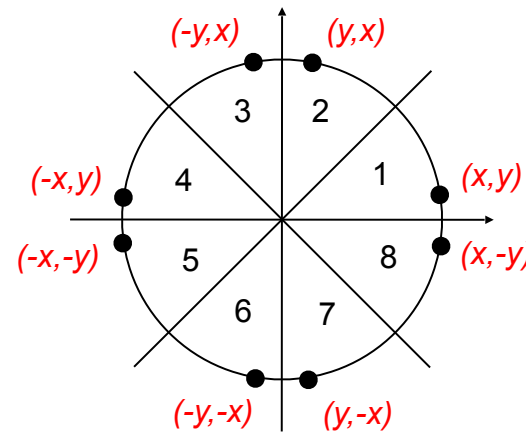


3.3 Rasterung von Kreisen

Darstellung eines Kreises: Bemerkungen

- Mit der Berechnung eines Kreispunktes sind durch **Symmetrie** 7 weitere Kreispunkte gegeben
- Für eine gleichmäßige Rasterung müssen die Pixel entlang des Kreises **möglichst gleichmäßig** verteilt sein
- Die Bewertung der Kreisapproximation im Raster ist subjektiv

- von jedem Rasterquadrant dürfen nur 2 Eckpunkte gesetzt werden

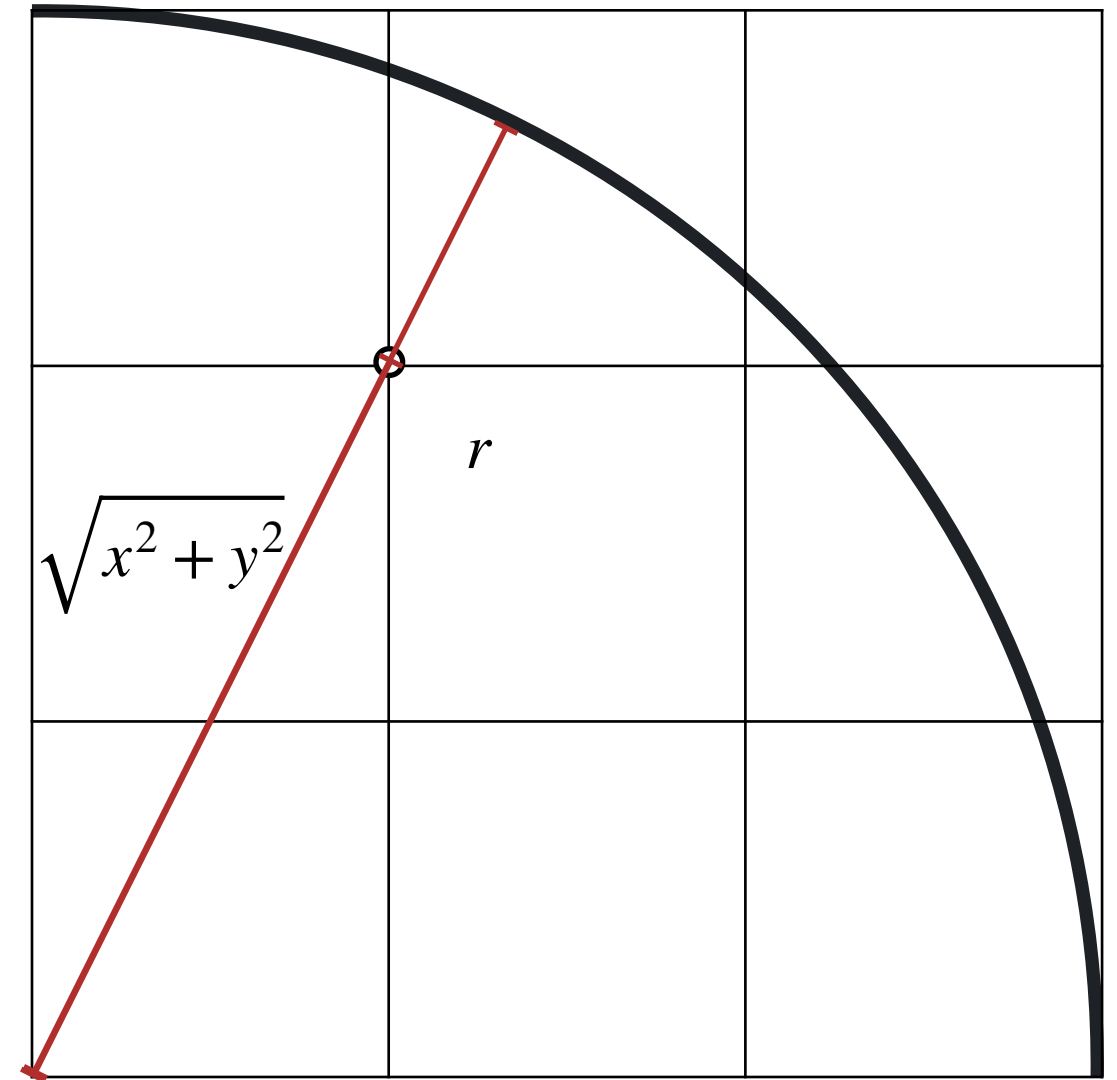


3.3 Rasterung von Kreisen

Darstellung eines Kreises: Bemerkungen

- Ein häufig verwendetes Kriterium ist die **Minimierung des Residuums**

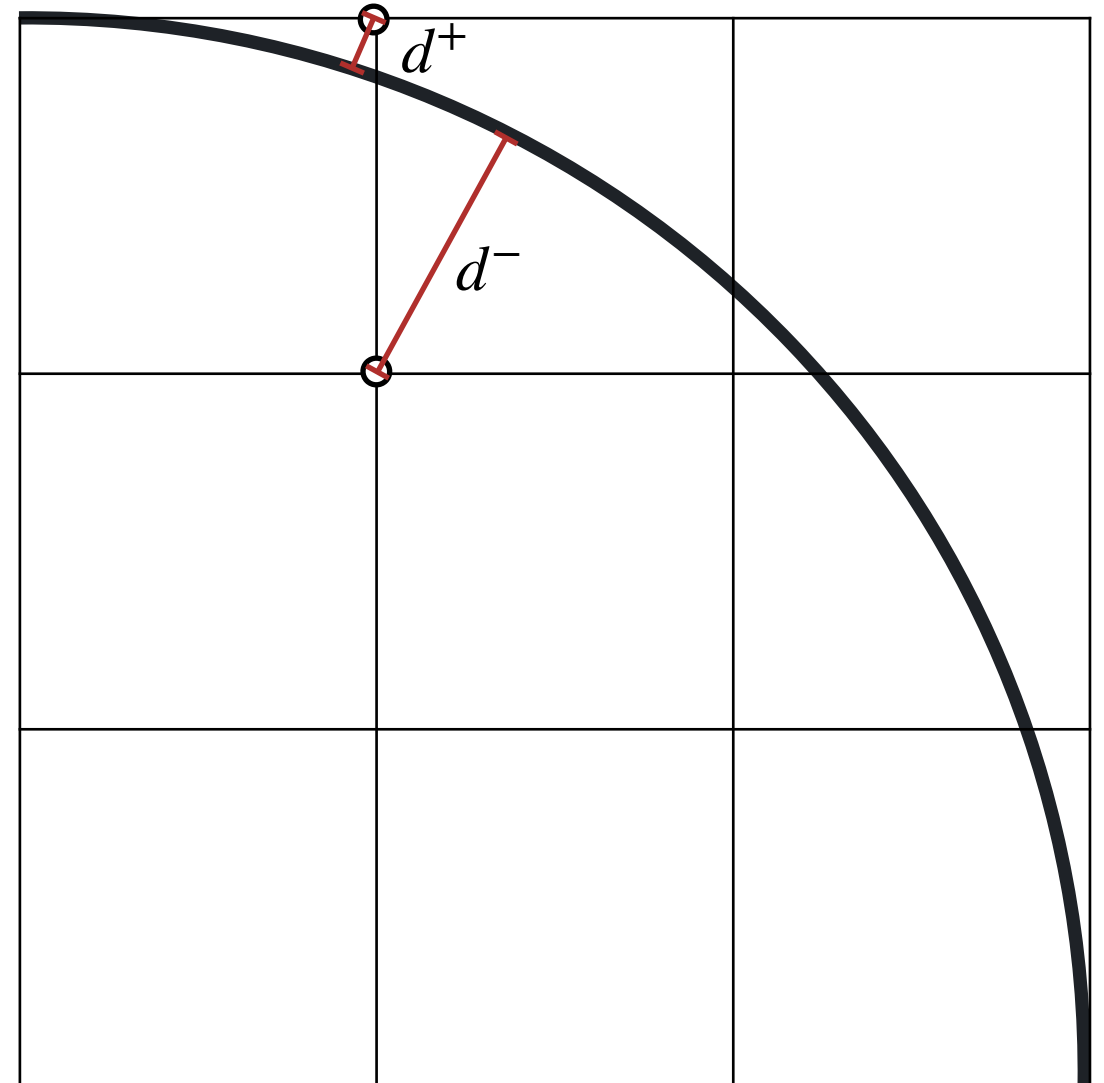
$$d = |x^2 + y^2 - r^2|$$



3.3 Rasterung von Kreisen

Bresenham-Algorithmus für Kreise

- Innerhalb des 2. Oktanten
- Kreisfunktion monoton fallend
- Steigung zwischen 0 und -1
- P^+ liegt immer außerhalb der Kreislinie
- P^- liegt immer innerhalb der Kreislinie

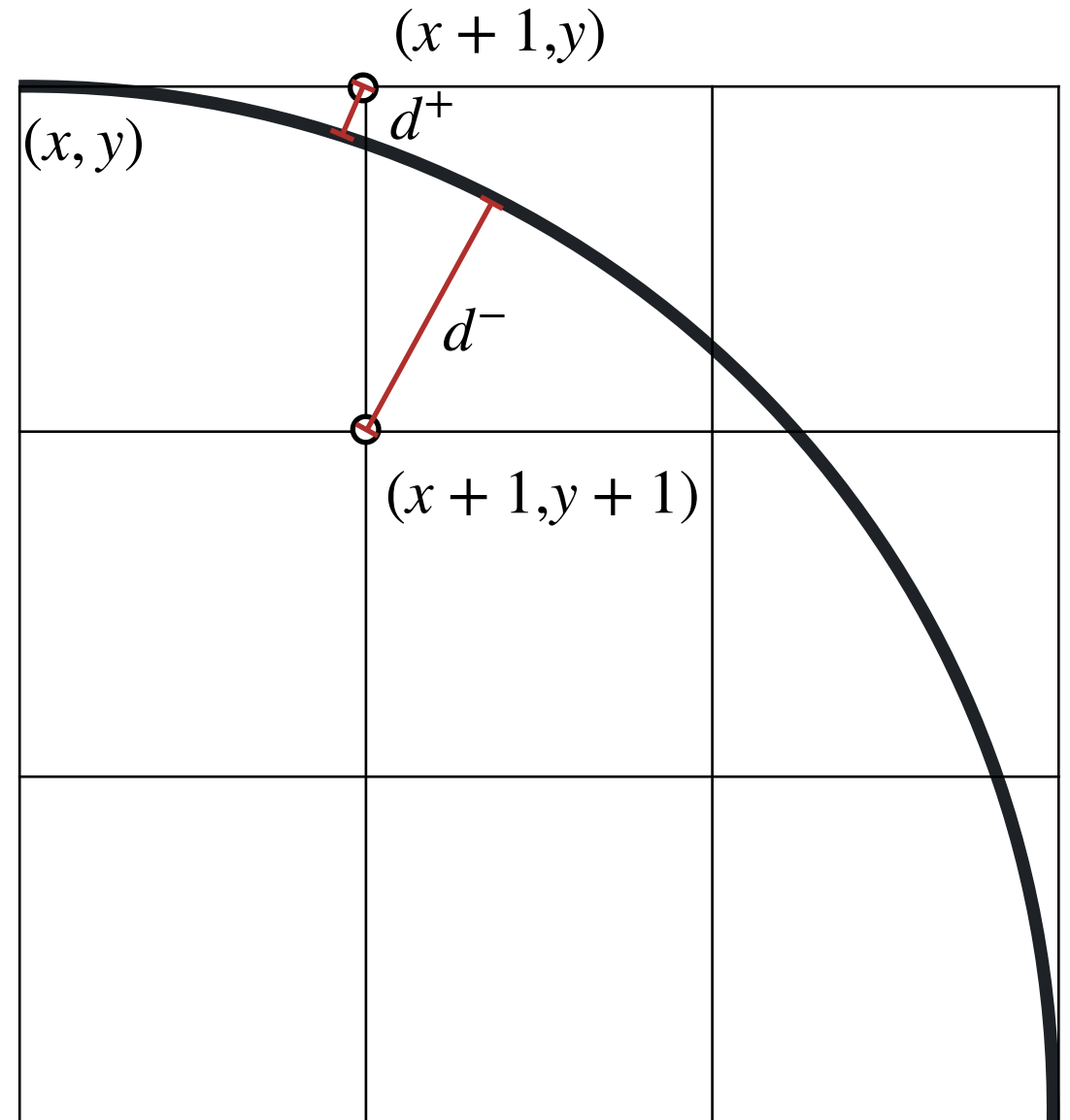


3.3 Rasterung von Kreisen

Bresenham-Algorithmus für Kreise

- Hier:
 - $(x_M, y_M) = (0,0)$
 - Startpunkt ist Rasterpunkt
 - $r \in \mathbb{N}$
 - 2. Oktant
- Gehe nach unten, wenn $d^+ > d^-$

d^-



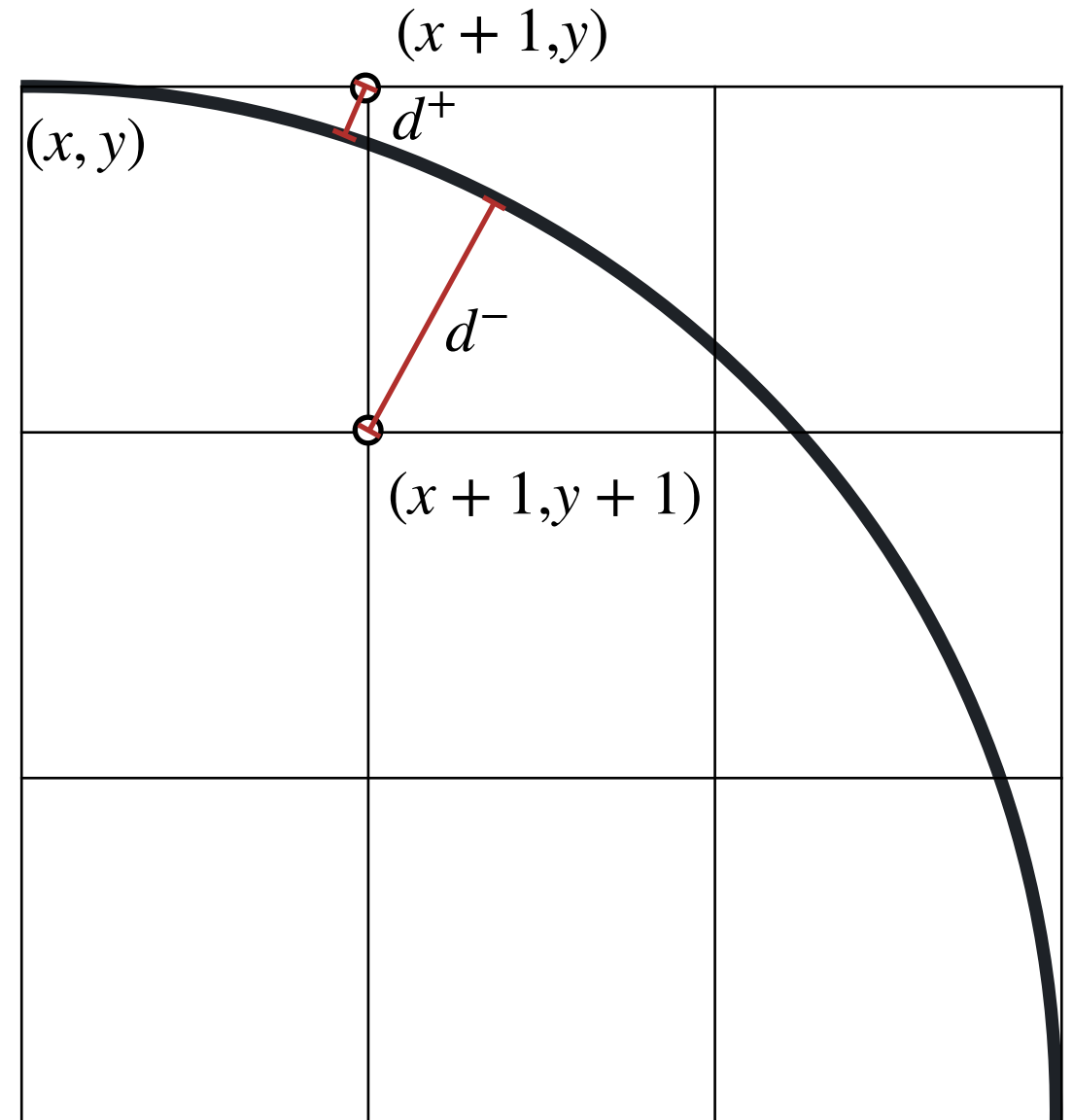
3.3 Rasterung von Kreisen

Bresenham-Algorithmus für Kreise

- Hier:
 - $(x_M, y_M) = (0,0)$
 - Startpunkt ist Rasterpunkt
 - $r \in \mathbb{N}$
 - 2. Oktant
- Gehe nach unten, wenn $d^+ > d^-$

$$\begin{aligned}d^+ &= |(x+1)^2 + y^2 - r^2| \\ &= (x+1)^2 + y^2 - r^2\end{aligned}$$

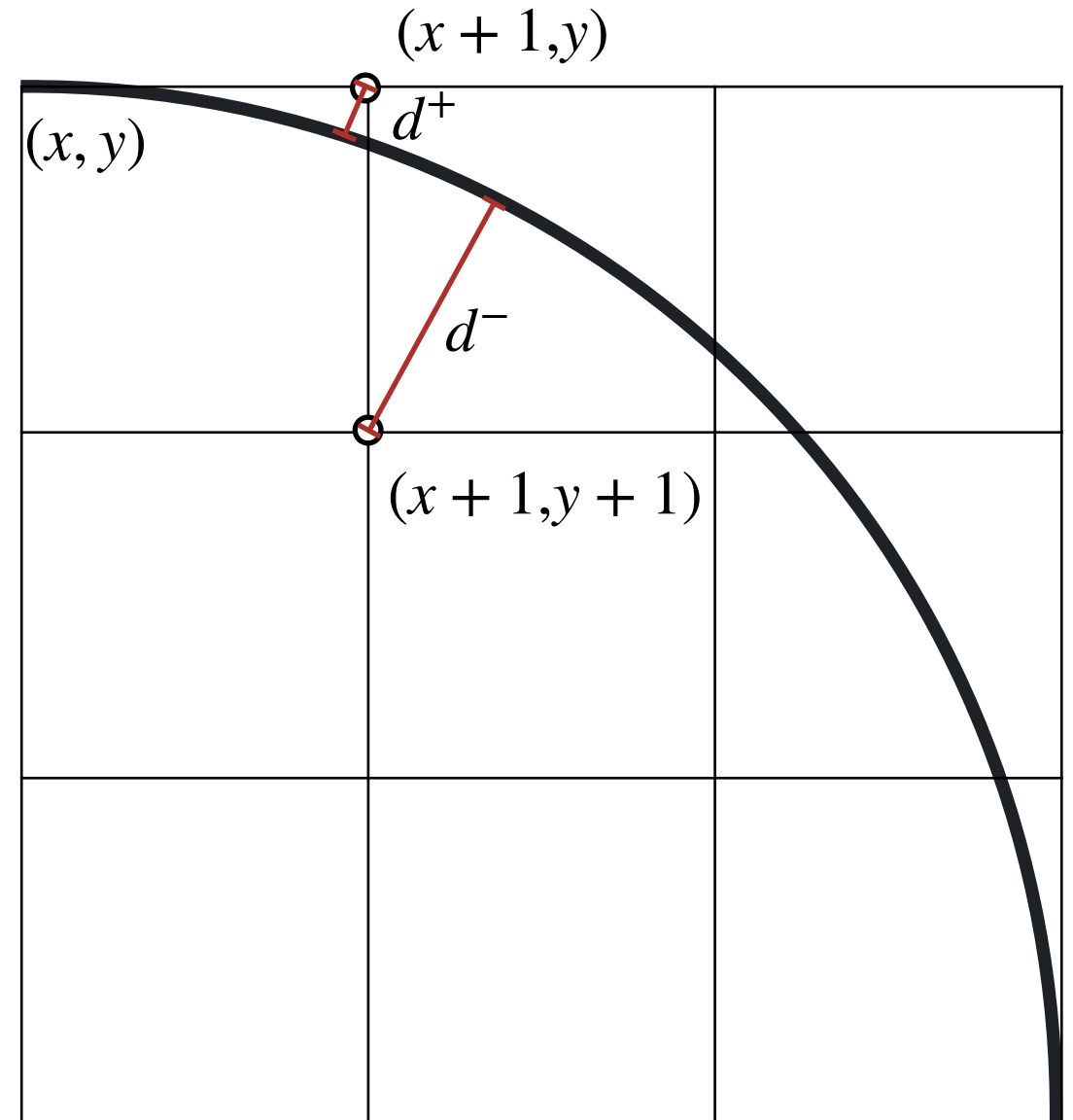
$$\begin{aligned}d^- &= |(x+1)^2 + (y-1)^2 - r^2| \\ &= r^2 - (x+1)^2 - y^2\end{aligned}$$



3.3 Rasterung von Kreisen

Bresenham-Algorithmus für Kreise

- Beste Approximation über **Entscheidungsgröße E** mittels minimalem Residuum $E = d^+ - d^-$
- Gehe nach unten, wenn $d^+ > d^- \Leftrightarrow E > 0$
 $E \leq 0 : x ++,$
 $E > 0 : x ++, y --,$



3.3 Rasterung von Kreisen

Bresenham-Algorithmus für Kreise

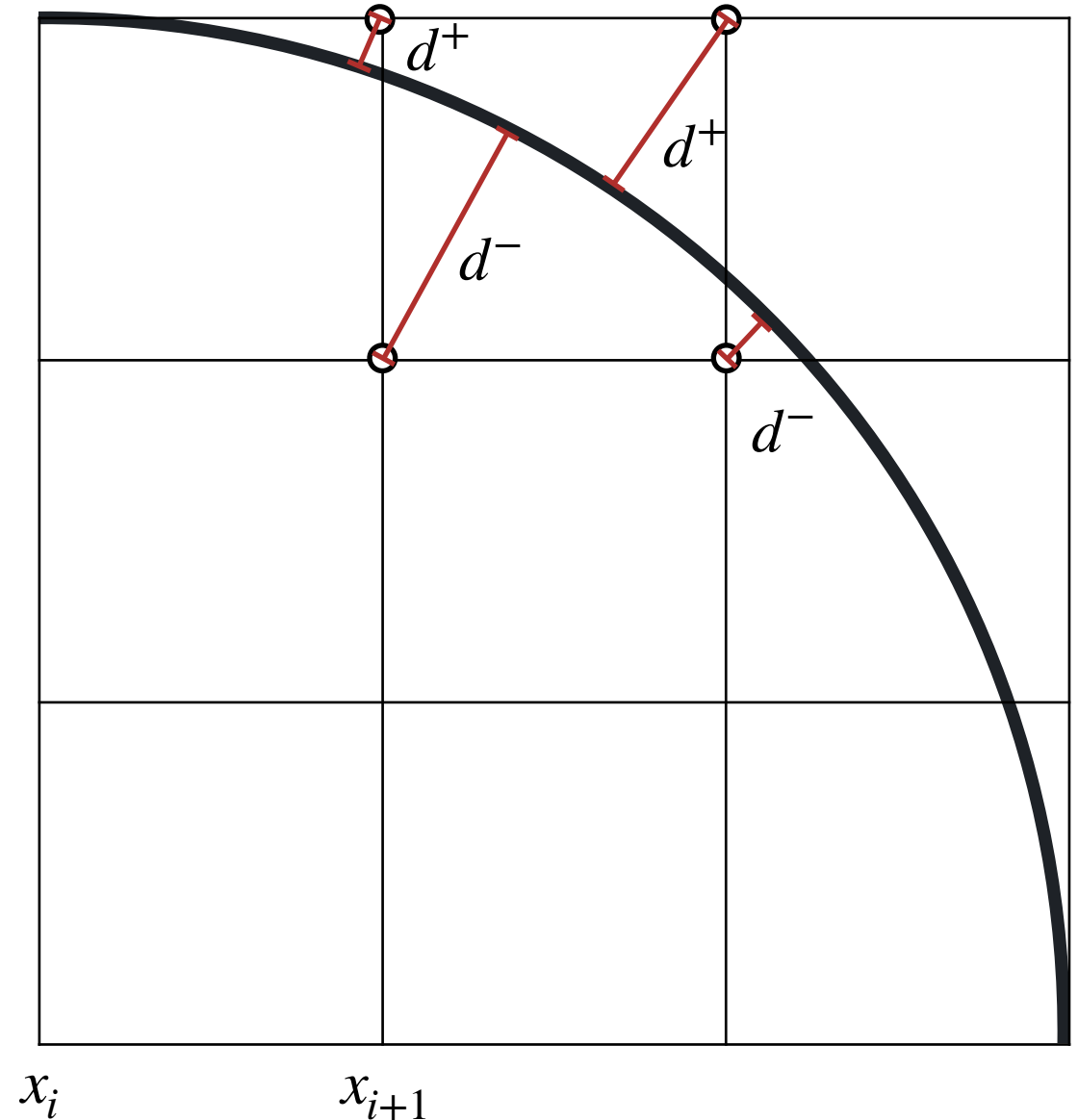
- Zur schnelleren Berechnung kann E **inkrementell** bestimmt werden

- $E \leq 0 : x++$

d_{i+1}^+

d_{i+1}^-

E_{i+1}



3.3 Rasterung von Kreisen

Bresenham-Algorithmus für Kreise

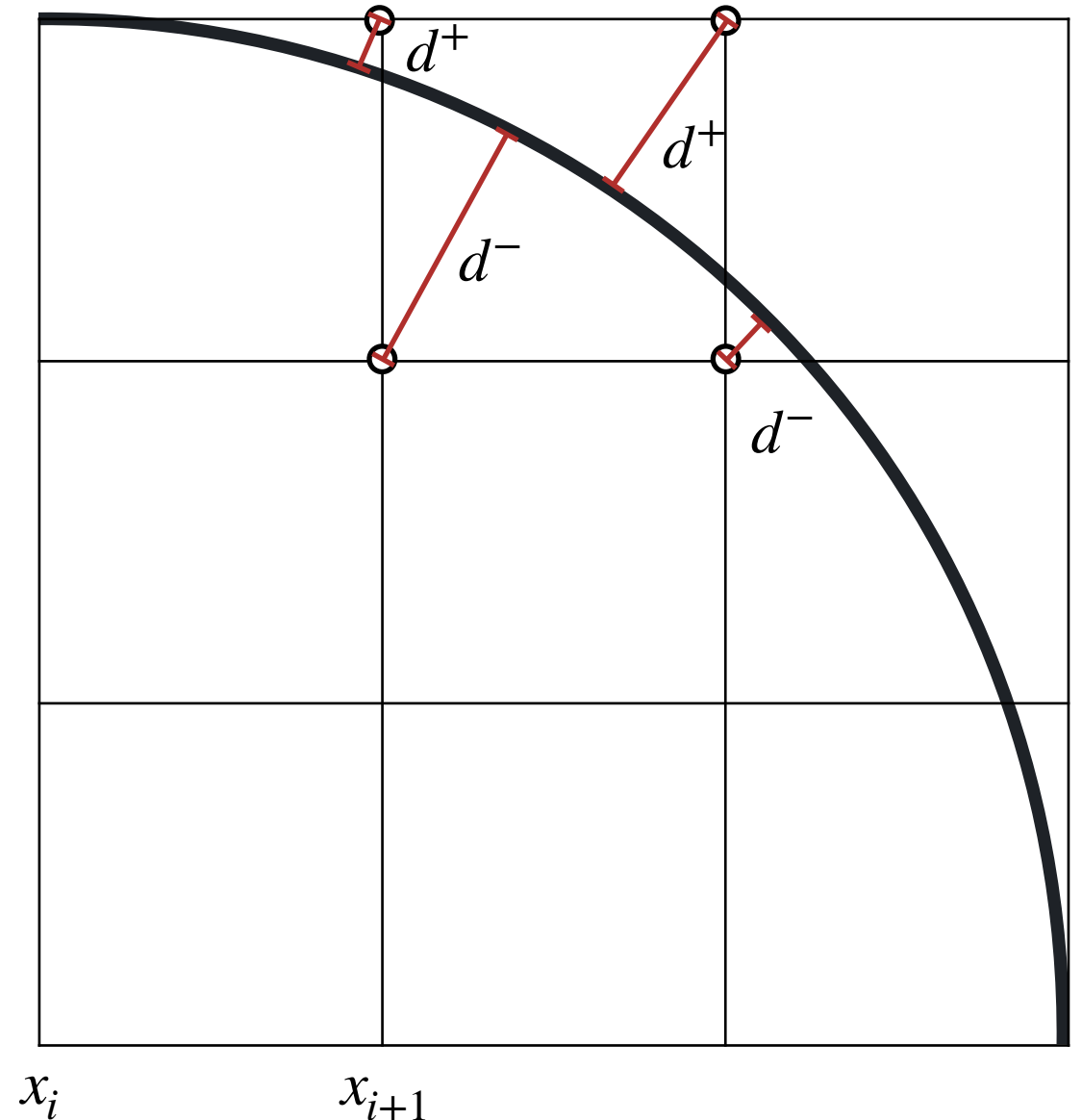
- Zur schnelleren Berechnung kann E **inkrementell** bestimmt werden

- $E \leq 0 : x++$

$$\begin{aligned}d_{i+1}^+ &= (x_{i+1} + 1)^2 + y_{i+1}^2 - r^2 \\ &= (x_i + 1 + 1)^2 + y_i^2 - r^2 \\ &= (x_i + 1)^2 + 2(x_i + 1) + 1 + y_i^2 - r^2 \\ &= d_i^+ + 2x_i + 3 \\ &= d_i^+ + 2x_{i+1} + 1\end{aligned}$$

$$\begin{aligned}d_{i+1}^- &= r^2 - (x_{i+1} + 1)^2 - (y_{i+1} - 1)^2 \\ &= r^2 - (x_i + 1 + 1)^2 - (y_i - 1)^2 \\ &= r^2 - (x_i + 1)^2 - 2(x_i + 1) - 1 - (y_i - 1)^2 \\ &= d_i^- - 2x_i - 3 \\ &= d_i^- - 2x_{i+1} - 1\end{aligned}$$

E_{i+1}



3.3 Rasterung von Kreisen

Bresenham-Algorithmus für Kreise

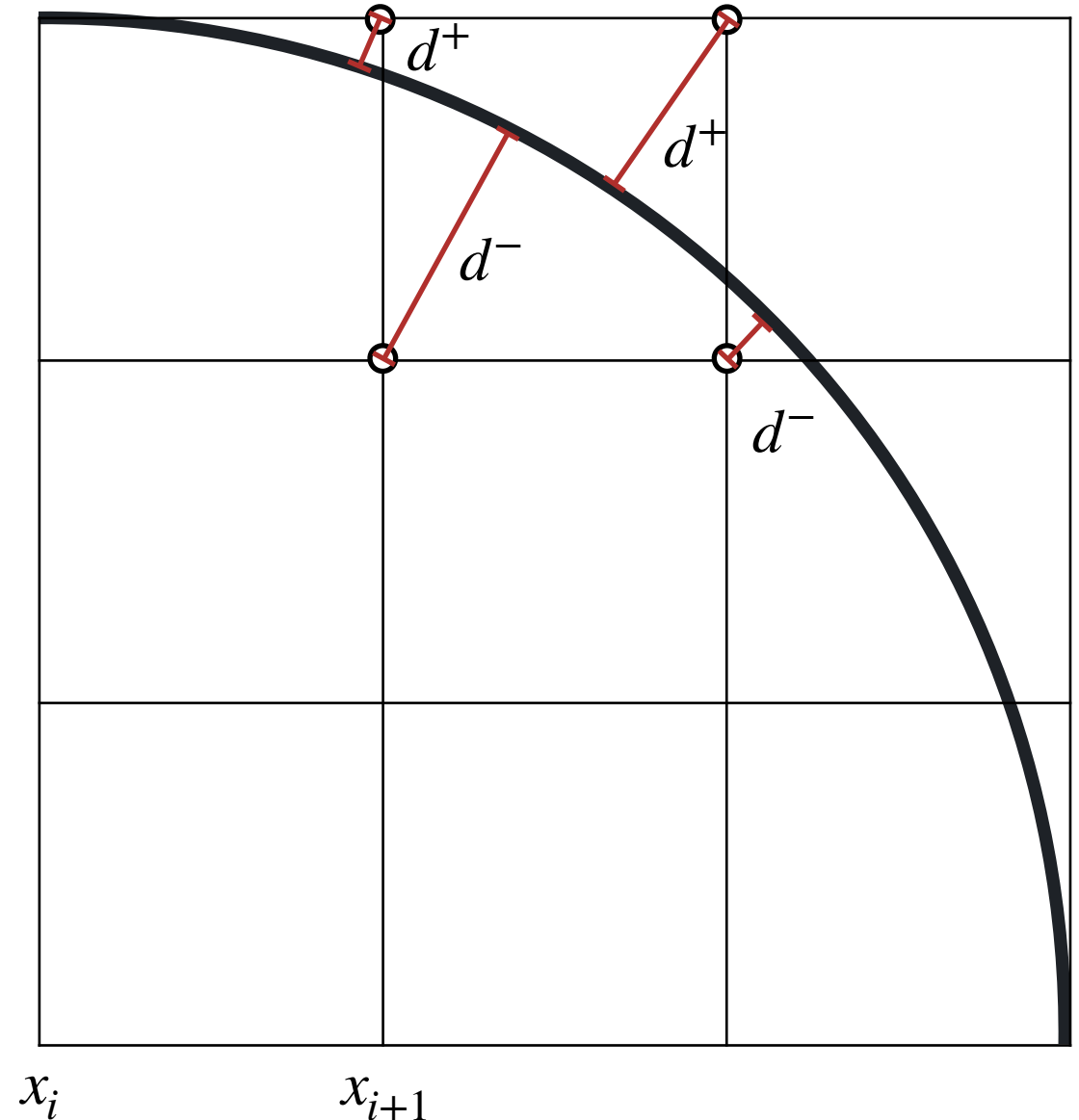
- Zur schnelleren Berechnung kann E **inkrementell** bestimmt werden

- $E \leq 0 : x++$

$$\begin{aligned}d_{i+1}^+ &= (x_{i+1} + 1)^2 + y_{i+1}^2 - r^2 \\ &= (x_i + 1 + 1)^2 + y_i^2 - r^2 \\ &= (x_i + 1)^2 + 2(x_i + 1) + 1 + y_i^2 - r^2 \\ &= d_i^+ + 2x_i + 3 \\ &= d_i^+ + 2x_{i+1} + 1\end{aligned}$$

$$\begin{aligned}d_{i+1}^- &= r^2 - (x_{i+1} + 1)^2 - (y_{i+1} - 1)^2 \\ &= r^2 - (x_i + 1 + 1)^2 - (y_i - 1)^2 \\ &= r^2 - (x_i + 1)^2 - 2(x_i + 1) - 1 - (y_i - 1)^2 \\ &= d_i^- - 2x_i - 3 \\ &= d_i^- - 2x_{i+1} - 1\end{aligned}$$

$$\begin{aligned}E_{i+1} &= d_{i+1}^+ - d_{i+1}^- \\ &= d_i^+ + 2x_{i+1} + 1 - d_i^- + 2x_{i+1} + 1 \\ &= E_i + 4x_{i+1} + 2\end{aligned}$$



3.3 Rasterung von Kreisen

Bresenham-Algorithmus für Kreise

- Zur schnelleren Berechnung kann E **inkrementell** bestimmt werden

- $E > 0 : x ++ , y --$

$$d_{i+1}^+ = (x_{i+1} + 1)^2 + y_{i+1}^2 - r^2$$

$$= (x_i + 1 + 1)^2 + (y_i - 1)^2 - r^2$$

$$= (x_i + 1)^2 + 2(x_i + 1) + 1 + y_i^2 - 2y_i + 1 - r^2$$

$$= d_i^+ + 2x_i - 2y_i + 4$$

$$= d_i^+ + 2x_{i+1} - 2y_{i+1}$$

$$d_{i+1}^- = r^2 - (x_{i+1} + 1)^2 - (y_{i+1} - 1)^2$$

$$= r^2 - (x_i + 1 + 1)^2 - (y_i - 1 - 1)^2$$

$$= r^2 - (x_i + 1)^2 - 2(x_i + 1) - 1 - (y_i - 1)^2 + 2(y_i - 1) - 1$$

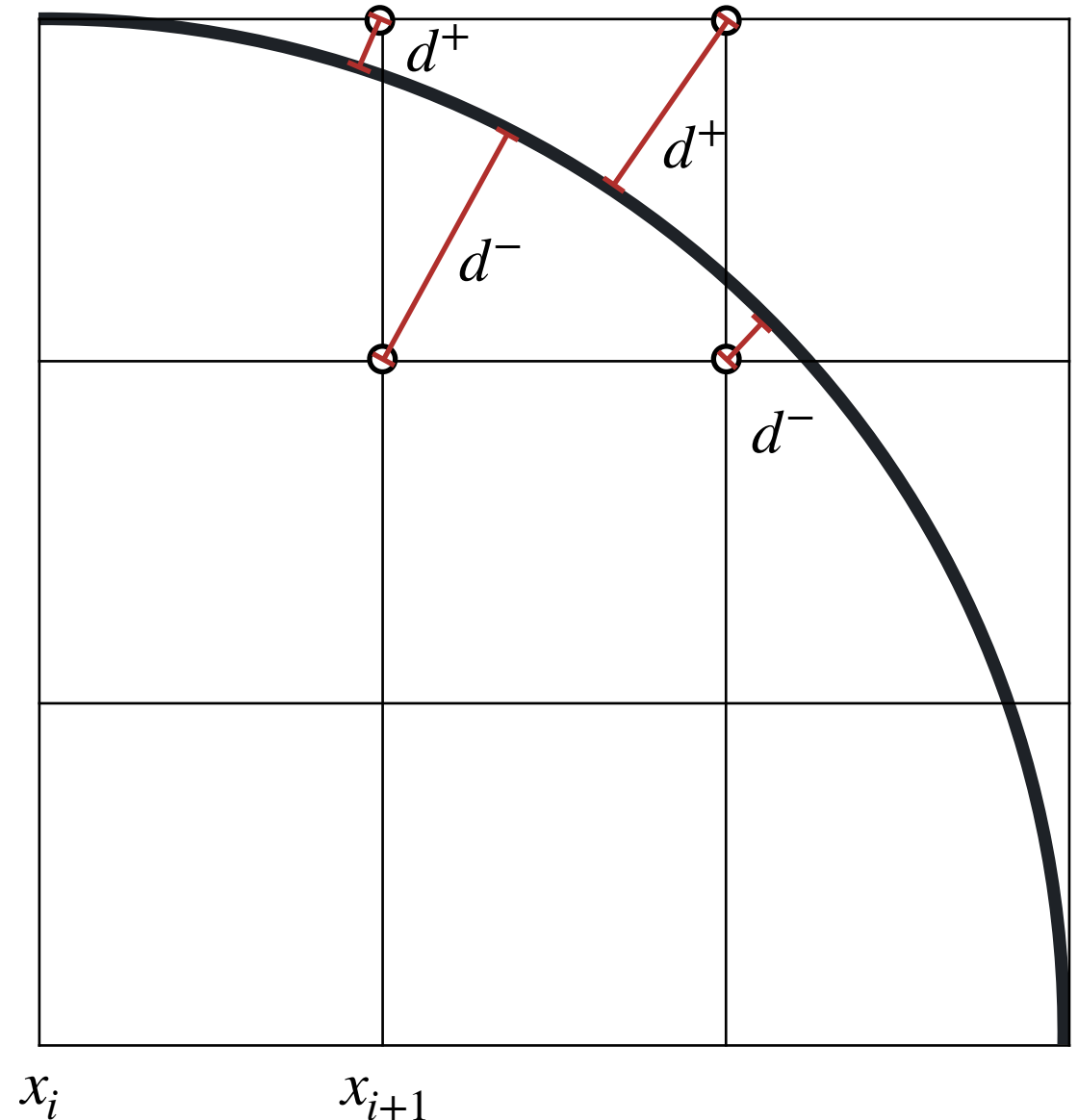
$$= d_i^- - 2x_i + 2y_i - 6$$

$$= d_i^- - 2x_{i+1} + 2y_{i+1} - 2$$

$$E_{i+1} = d_{i+1}^+ - d_{i+1}^-$$

$$= d_i^+ + 2x_{i+1} - 2y_{i+1} - d_i^- + 2x_{i+1} - 2y_{i+1} + 2$$

$$= E_i + 4(x_i - y_i) + 2$$



3.3 Rasterung von Kreisen

Bresenham-Algorithmus für Kreise

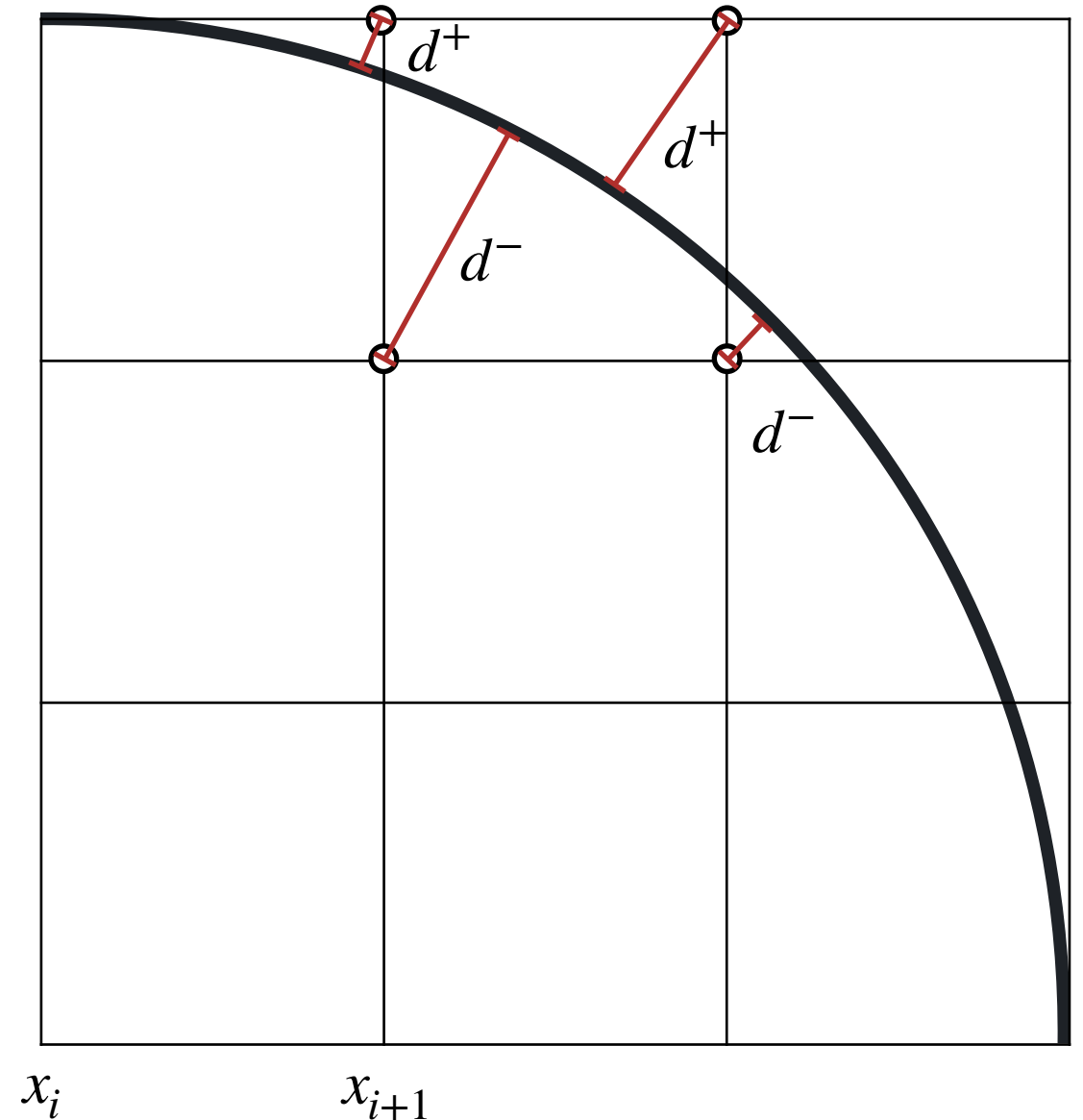
- Aktualisierung:

- $E \leq 0 : x++$,

$$E_{i+1} = E_i + 4x_i + 2$$

- $E > 0 : x++, y--$,

$$E_{i+1} = E_i + 4(x_i - y_i) + 2$$



3.3 Rasterung von Kreisen

Bresenham-Algorithmus für Kreise

– Startwerte:

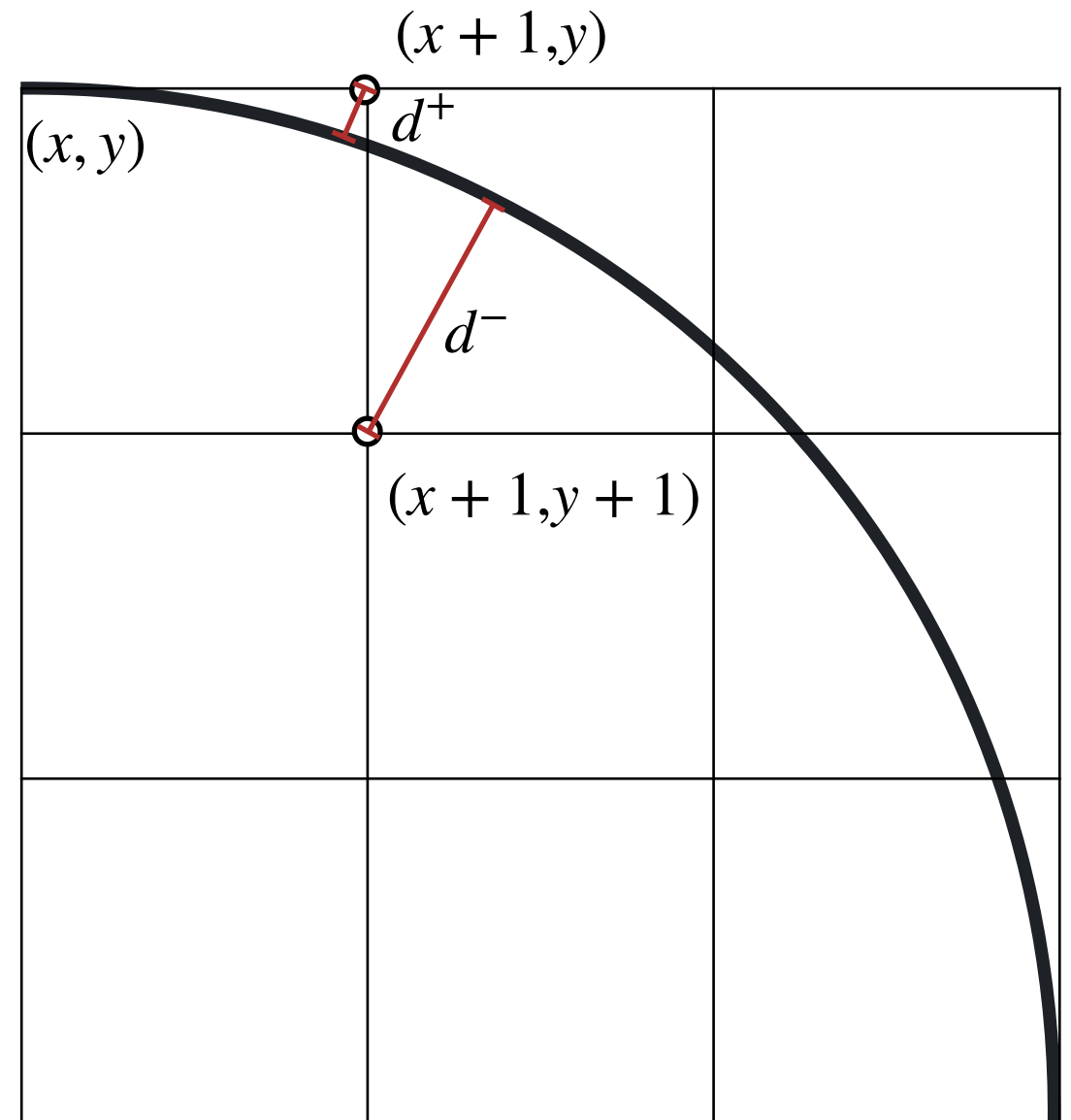
– $x_1 = 0$

– $y_1 = r$

$$d_1^+$$

$$d_1^-$$

$$E_1$$



3.3 Rasterung von Kreisen

Bresenham-Algorithmus für Kreise

– Startwerte:

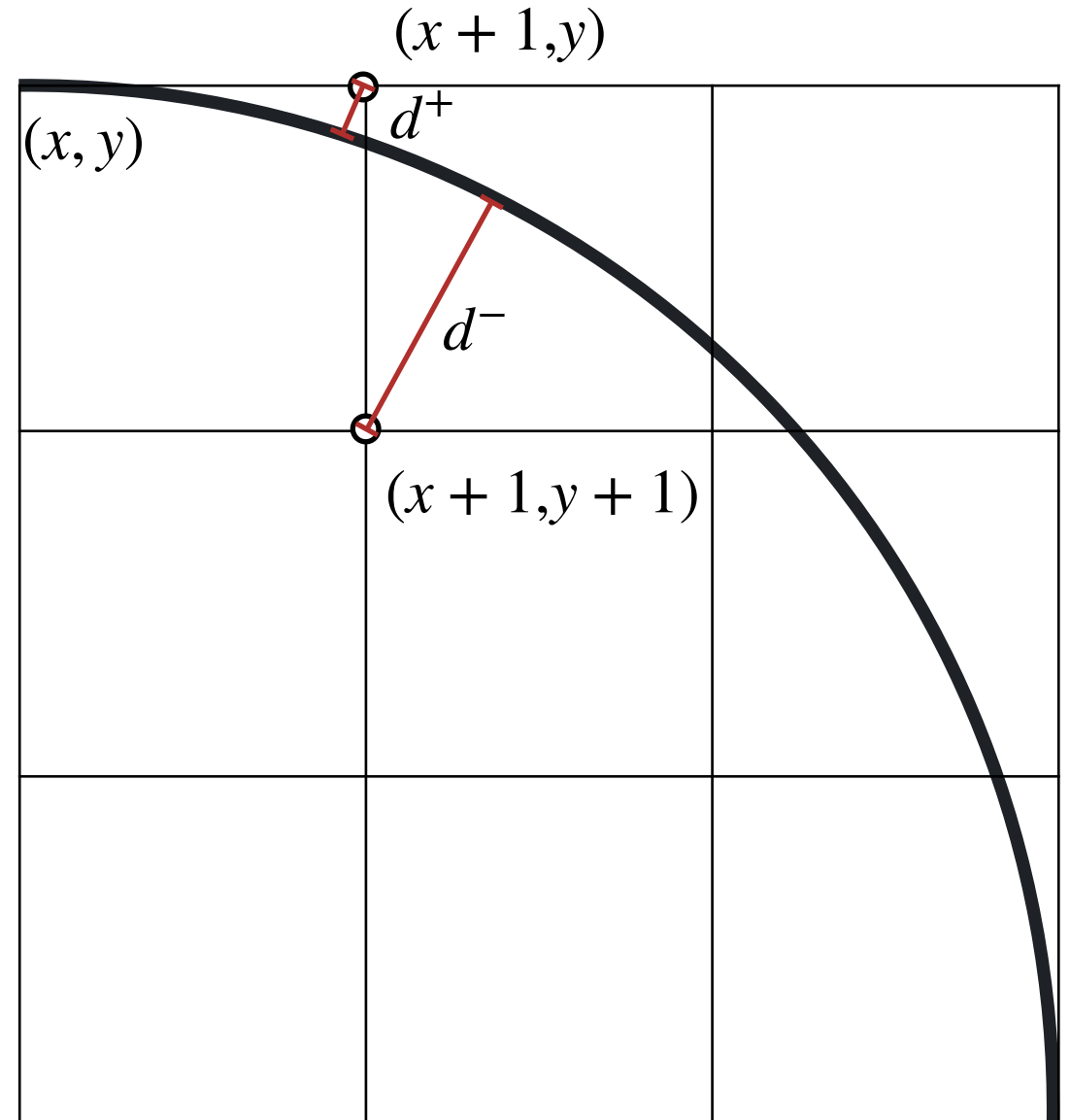
– $x_1 = 0$

– $y_1 = r$

$$\begin{aligned}d_1^+ &= (x_1 + 1)^2 + y_1^2 - r^2 \\ &= 1 + r^2 - r^2 \\ &= 1\end{aligned}$$

$$\begin{aligned}d_1^- &= r^2 - (x_1 + 1)^2 - (y_1 - 1)^2 \\ &= r^2 - 1 - r^2 + 2r - 1 \\ &= 2r - 2\end{aligned}$$

$$E_1$$



3.3 Rasterung von Kreisen

Bresenham-Algorithmus für Kreise

– Startwerte:

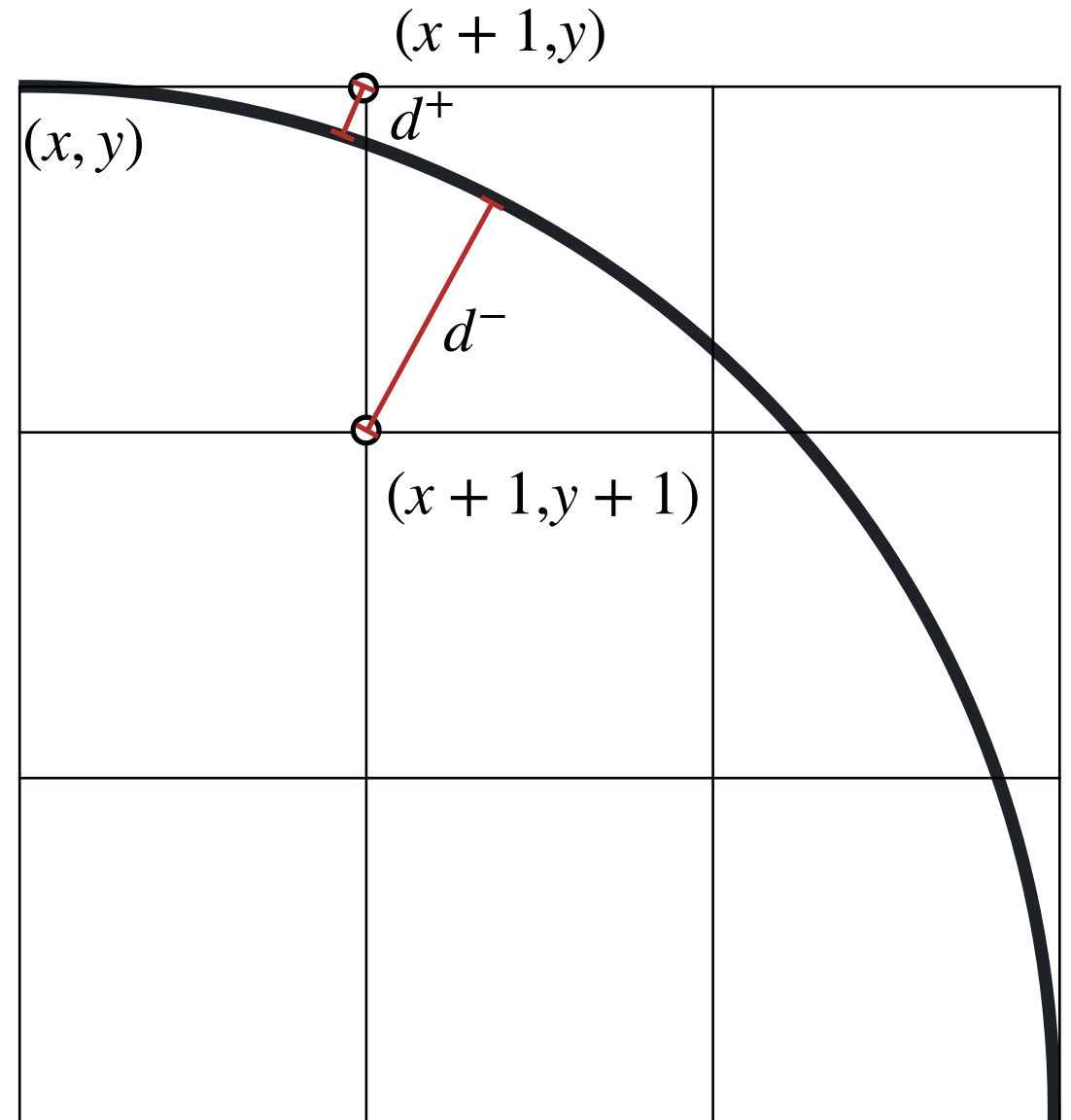
– $x_1 = 0$

– $y_1 = r$

$$\begin{aligned}d_1^+ &= (x_1 + 1)^2 + y_1^2 - r^2 \\ &= 1 + r^2 - r^2 \\ &= 1\end{aligned}$$

$$\begin{aligned}d_1^- &= r^2 - (x_1 + 1)^2 - (y_1 - 1)^2 \\ &= r^2 - 1 - r^2 + 2r - 1 \\ &= 2r - 2\end{aligned}$$

$$\begin{aligned}E_1 &= d_1^+ - d_1^- \\ &= 1 - 2r + 2 \\ &= 3 - 2r\end{aligned}$$



3.3 Rasterung von Kreisen

Bresenham-Algorithmus für Kreise

```
x = 0
y = r
E = 3 - 2*r
zeichneAchtPunkte(x, y)
solange x < y wiederhole:
    x = x + 1
    falls E > 0 dann
        y = y - 1
        E = E + 4(x-y) + 2
    sonst E = E + 4x + 2
    zeichneAchtPunkte(x, y)
ende solange
```

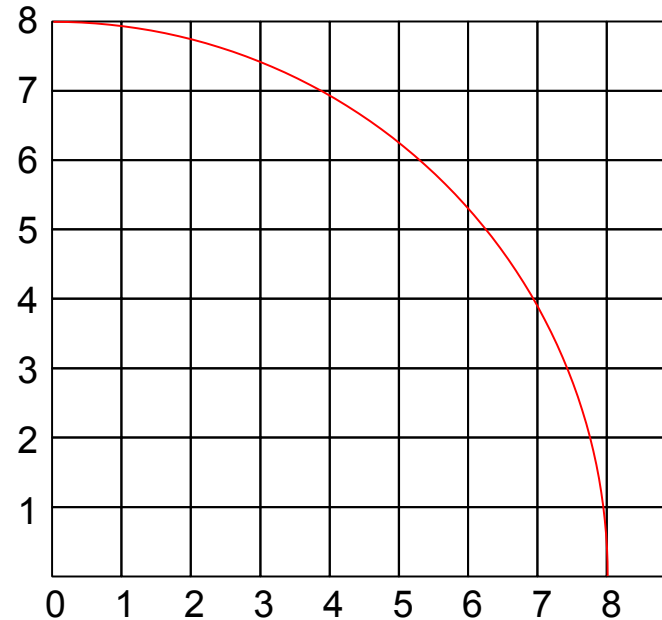
- 2. Oktant
- nur ganzzahlige Operatoren

3.3 Rasterung von Kreisen

Bresenham-Algorithmus für Kreise

```
x = 0
y = r
E = 3 - 2*r
zeichneAchtPunkte(x,y)
solange x < y wiederhole:
  x = x + 1
  falls E > 0 dann
    y = y - 1
    E = E + 4(x-y) + 2
  sonst E = E + 4x + 2
  zeichneAchtPunkte(x,y)
ende solange
```

- Beispiel: $r = 8$



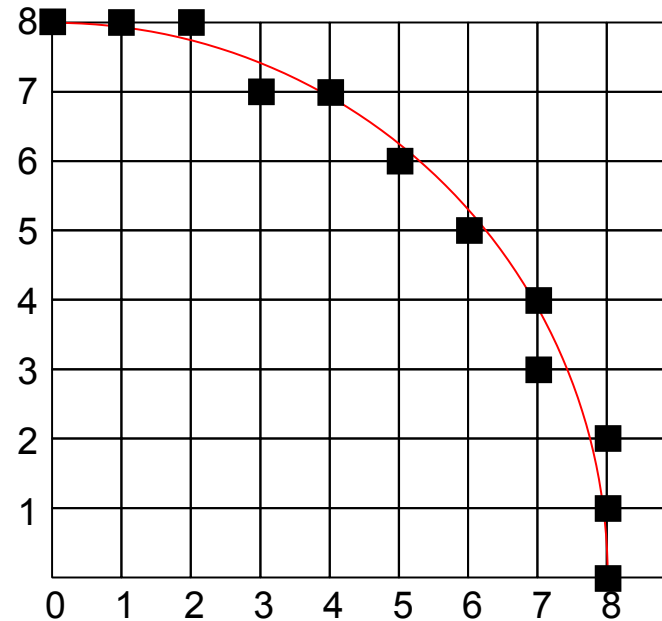
x	y	E	plot

3.3 Rasterung von Kreisen

Bresenham-Algorithmus für Kreise

```
x = 0
y = r
E = 3 - 2*r
zeichneAchtPunkte(x, y)
solange x < y wiederhole:
  x = x + 1
  falls E > 0 dann
    y = y - 1
    E = E + 4(x-y) + 2
  sonst E = E + 4x + 2
  zeichneAchtPunkte(x, y)
ende solange
```

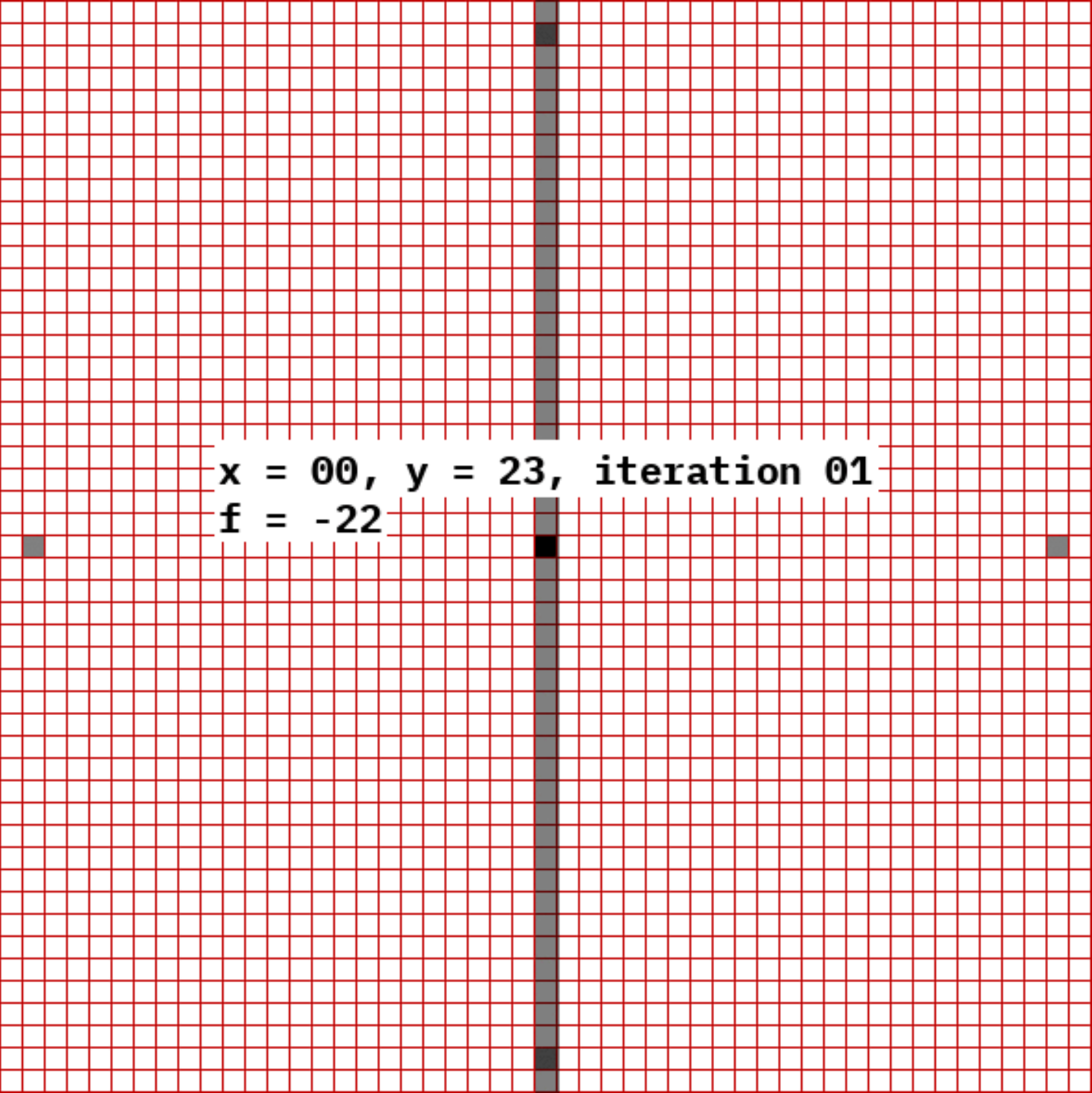
- Beispiel: $r = 8$



x	y	E	plot
0	8	-13	(0, 8)
1	8	-7	(1, 8)
2	8	3	(2, 8)
3	7	-11	(3, 7)
4	7	7	(4, 7)
5	6	5	(5, 6)
6	5	11	(6, 5)

3.3 Rasterung von Kreisen

Bresenham-Algorithmus für Kreise



x = 00, y = 23, iteration 01
f = -22

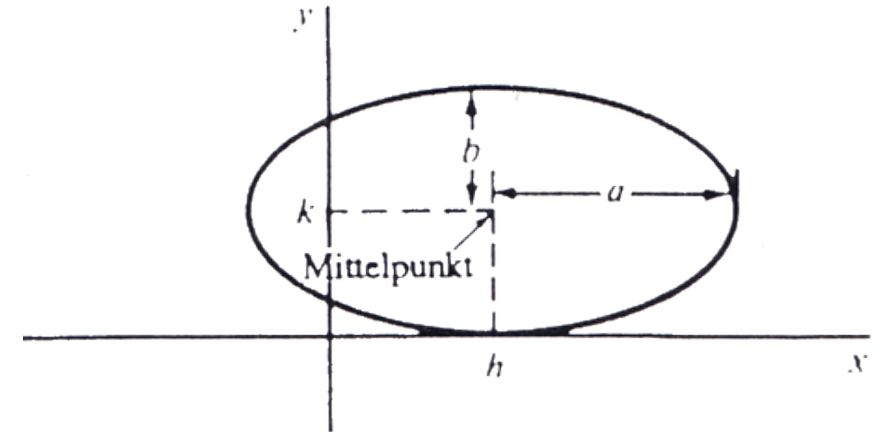
3.3 Rasterung von Kreisen

Ellipsendarstellung

- Zur Rasterung betrachtet man die Ellipsen
 - in **Normalform**
 - mit zu den **Koordinatenachsen parallelen Hauptachsen**
- Algorithmus von Kappel

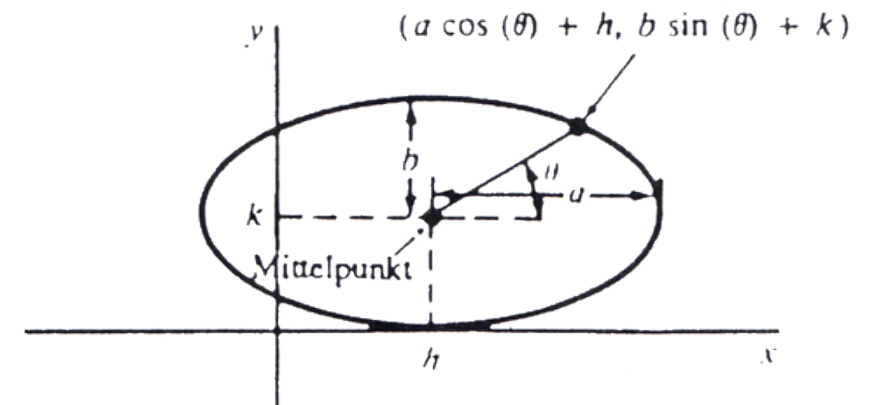
- o Ellipsenerzeugung über die implizite Darstellung

$$\frac{(x - h)^2}{a^2} + \frac{(y - k)^2}{b^2} = 1$$



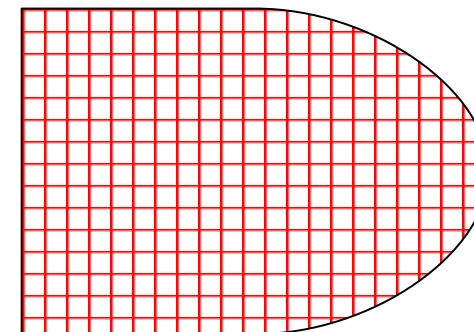
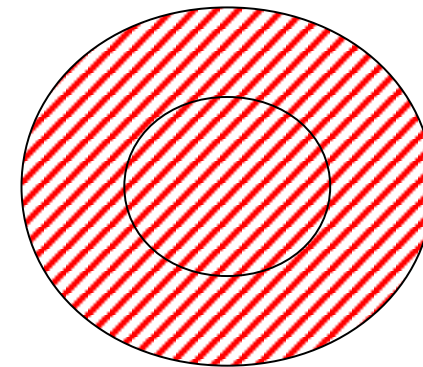
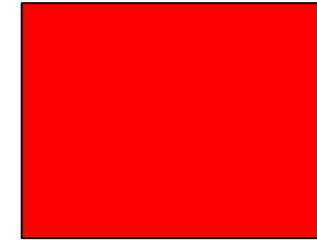
- o Ellipsenerzeugung über die Parameterdarstellung

$$x = h + a \cos \theta \quad y = k + b \sin \theta$$



3.4 Füllalgorithmen

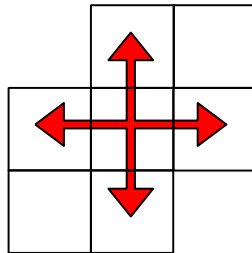
- Ziel: Füllen bzw. Einfärben eines begrenzten Bereiches oder Gebietes mit einer Füllfarbe oder einem Muster bzw. einer Schraffur
- Beispiele:
 - Balkendiagramme
 - Flächen
 - Körper
- Beschreibung der zu füllenden Gebiete erfolgt geometrisch
 - Durch Ecken, Strecken, Polygone, Kreise (randdefiniert)
 - Durch Pixel (inhaltsdefiniert)



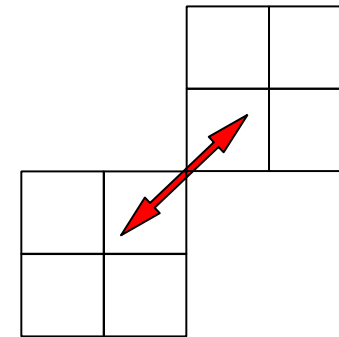
3.4 Füllalgorithmen

Zusammenhang von Gebieten

- 4-fach zusammenhängend (nur Horizontal- und Vertikalbewegung)



- 8-fach zusammenhängend (zusätzlich Diagonalbewegung möglich)



3.4 Füllalgorithmen

- Bemerkungen
 - Füllalgorithmen mit **8 Freiheitsgraden** (Bewegungsrichtungen) können **auch 4-fach** zusammenhängende Gebiete füllen.
 - Füllalgorithmen mit **4 Freiheitsgraden können keine 8-fach** zusammenhängenden Gebiete füllen.
- Problem:
4-fach zusammenhängende Gebiete mit gemeinsamen Ecken
- Techniken zum Rastern eines Polygons / Füllen eines Gebietes
 - Scan-Line-Methode
 - Saatkorn-Methode
 - Hybrid-Methoden

3.4 Füllalgorithmen

Scan-Line-Methode

- Andere Bezeichnungen
 - Rasterzeilen-Methode
 - Scan-Conversion
- Arbeitet zeilenweise von oben nach unten
- Ein Pixel der aktuellen Zeile (Scan-Line) wird nur dann gezeichnet, wenn es innerhalb des Polygons liegt
- Definition der Gebiete
 - Geometrisch
 - Pixelweise

3.4 Füllalgorithmen

Scan-Line-Methode

```
- // einfachster Ansatz:  
- for (y = ymin; y <= ymax; y++) {  
  - // row, Zeile  
  - for (x = xmin; x <= xmax; x++) {  
    - // column, Spalte  
    - if (Inside(polygon, x, y) {  
      - SetPixel(x,y);  
    - }  
  - }  
- }
```

- Eigenschaften

- Sehr langsam
- Verbesserung der Laufzeit durch Ausnutzung von Kohärenz

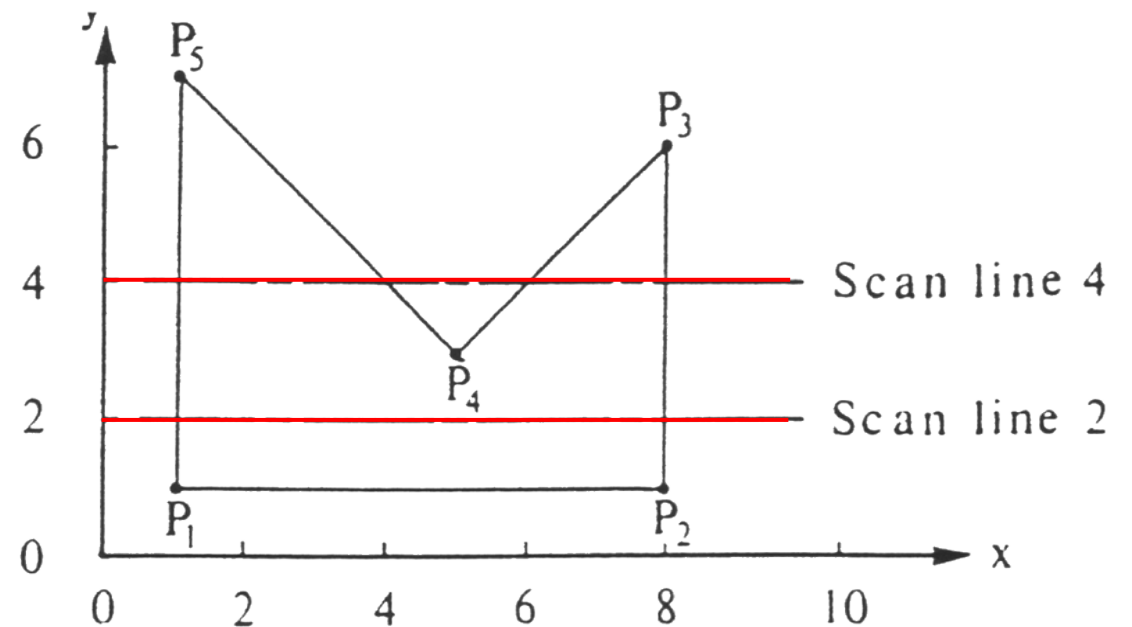
3.4 Füllalgorithmen

Scan-Line-Methode

- Ausnutzung von Zeilenkohärenz
 - Benachbarte Pixel auf einer Zeile besitzen höchstwahrscheinlich die gleichen Intensitätswerte
 - Pixelcharakteristik (Intensität) ändert sich nur dort, wo ein Schnittpunkt einer Polygonkante mit einer Scan Line vorliegt, d.h. der Bereich zwischen zwei Schnittpunkten gehört zum Polygon oder nicht

- Schnitt mit Polygon

- $y = 2$: für $x = 1, 8$
- $y = 4$: für $x = 1, 4, 6, 8$

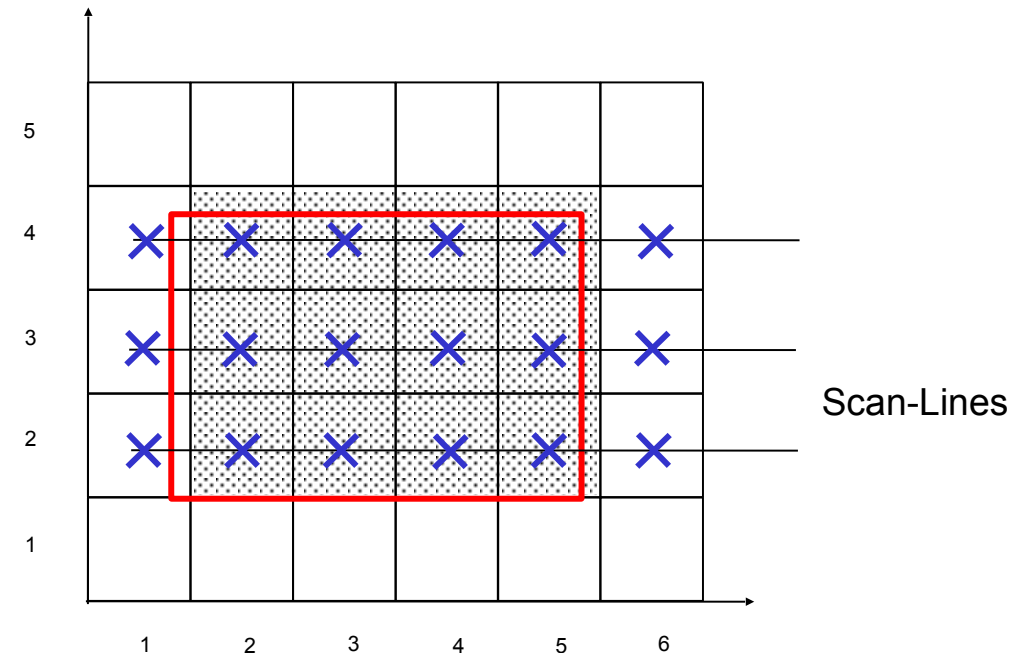


3.4 Füllalgorithmen

Scan-Line-Methode

- Ausnutzung von Zeilenkohärenz
 - Benachbarte Pixel auf einer Zeile besitzen höchstwahrscheinlich die gleichen Intensitätswerte
 - Pixelcharakteristik (Intensität) ändert sich nur dort, wo ein Schnittpunkt einer Polygonkante mit einer Scan Line vorliegt, d.h. der Bereich zwischen zwei Schnittpunkten gehört zum Polygon oder nicht

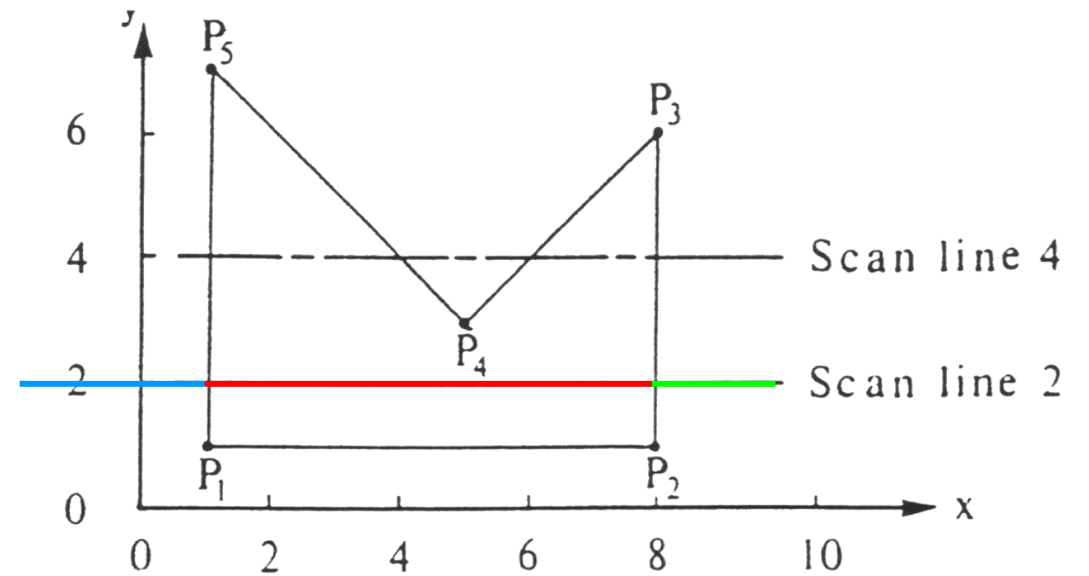
- Hier sind die Pixelzeilen und -spalten nummeriert, nicht die Koordinaten der Achsen!



3.4 Füllalgorithmen

Scan-Line-Methode

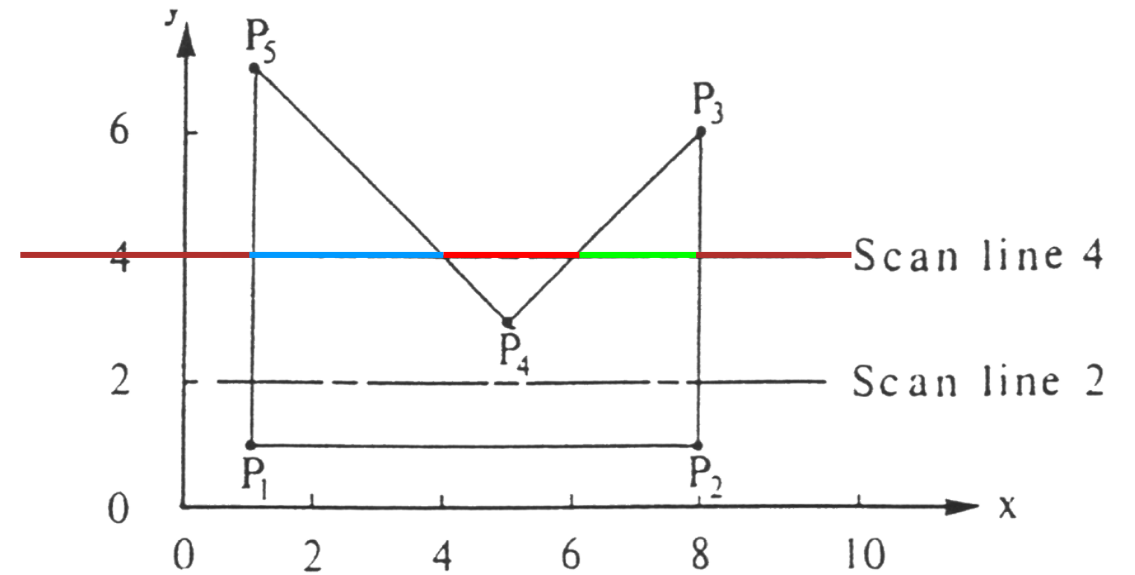
- Scan-Line $y = 2$
- Unterteilung in 3 Bereiche:
 - $x < 1$ außerhalb des Polygons
 - $1 \leq x \leq 8$ innerhalb des Polygons
 - $x > 8$ außerhalb des Polygons



3.4 Füllalgorithmen

Scan-Line-Methode

- Scan-Line $y = 4$
- Unterteilung in 5 Bereiche:
 - $x < 1$ außerhalb des Polygons
 - $1 \leq x \leq 4$ innerhalb des Polygons
 - $4 < x < 6$ außerhalb des Polygons
 - $6 \leq x \leq 8$ innerhalb des Polygons
 - $8 < x$ außerhalb des Polygons

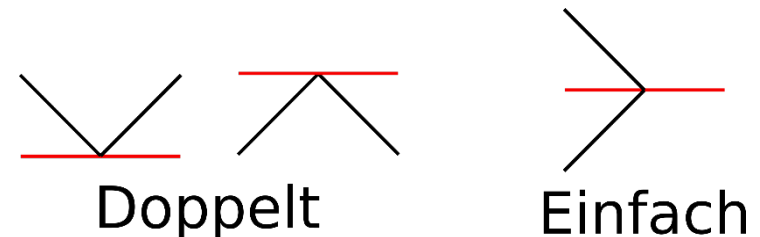


3.4 Füllalgorithmen

Scan-Line-Methode

- Probleme treten auf, wenn die Scan-Line das Polygon in einer Ecke schneidet
→ Betrachte **lokale Extrema**
- Lokale Extrema:
 - y-Werte der **Endpunkte** der in dieser Ecke beginnenden Polygonseiten sind **beide größer** oder **beide kleiner** als der y-Wert der **Schnittecke**
 - Fallunterscheidung:
 - ist die Ecke ein lokales Extremum, so zählt der **Schnitt zweifach**
 - ist die Ecke kein lokales Extremum, so zählt der **Schnitt nur einfach**

- Einfacher Kanten-Listen-Algorithmus:
Ordered Edge List Algorithm
- Funktionsweise:
 - Preprocessing
 - Scan Conversion



3.4 Füllalgorithmen

Scan-Line-Methode

– Preprocessing

- Ermittle für jede Polygonkante die **Schnittpunkte mit den Scan-Lines** in der Pixelmitte
 - Bresenham
 - DDA-Algorithmus
- Ignoriere dabei **horizontale Kanten**
- **Speichere** jeden Schnittpunkt (x, y) in einer Liste
- **Sortiere die Liste** dann von oben nach unten und von links nach rechts

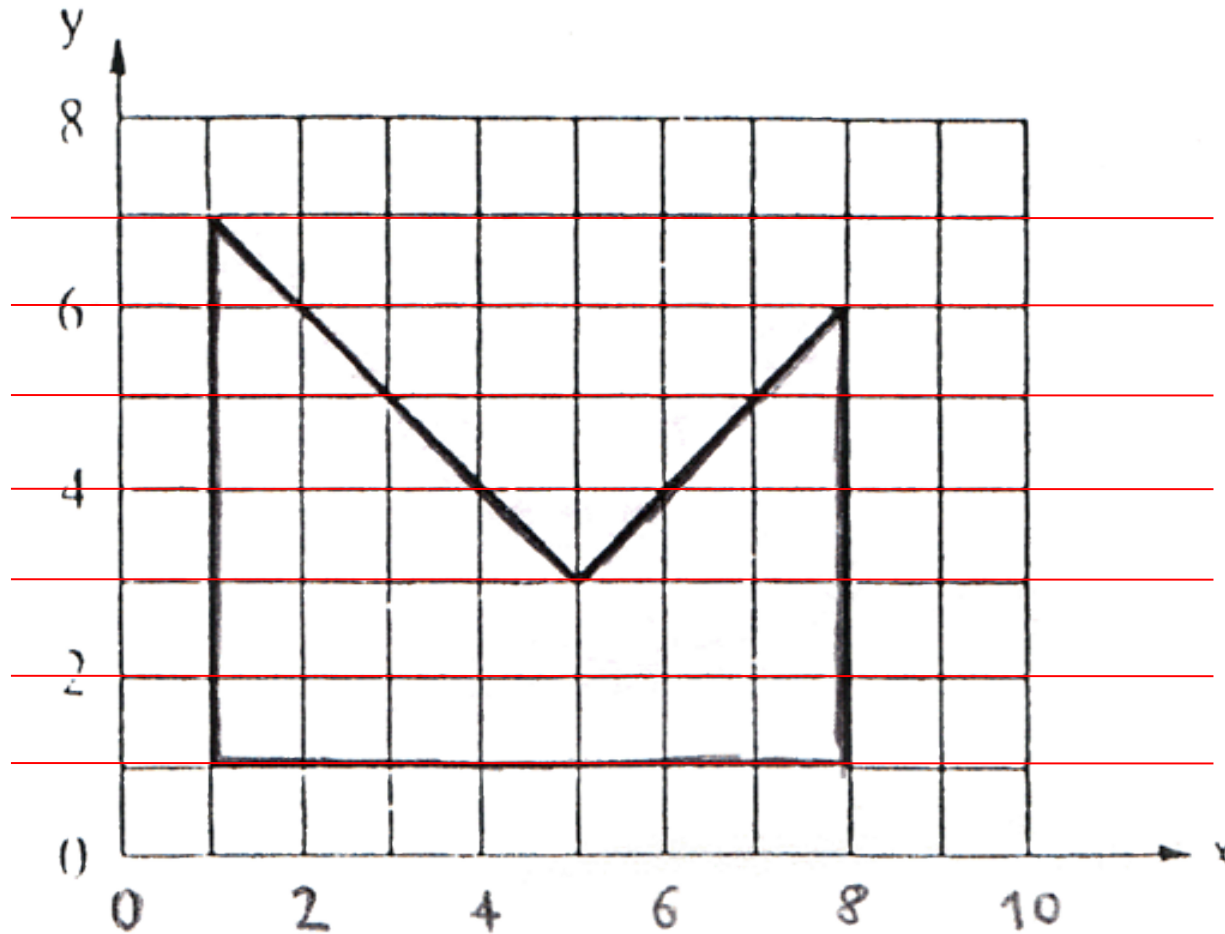
– Scan-Conversion

- Betrachte jeweils zwei direkt **aufeinander folgende Schnittpunkte** (x_1, y_1) und (x_2, y_2) der Liste
 - Listenelemente 1 und 2
 - Listenelemente 3 und 4
 - ...
- Aufgrund des Preprocessing gilt für die Scan-Line y
 $y = y_1 = y_2$ und $x_1 \leq x_2$
- Zeichne alle Pixel auf der Scan-Line y , für die gilt:
 $x_1 \leq x < x_2$ mit ganzzahligem x

3.4 Füllalgorithmen

Scan-Line-Methode: Preprocessing

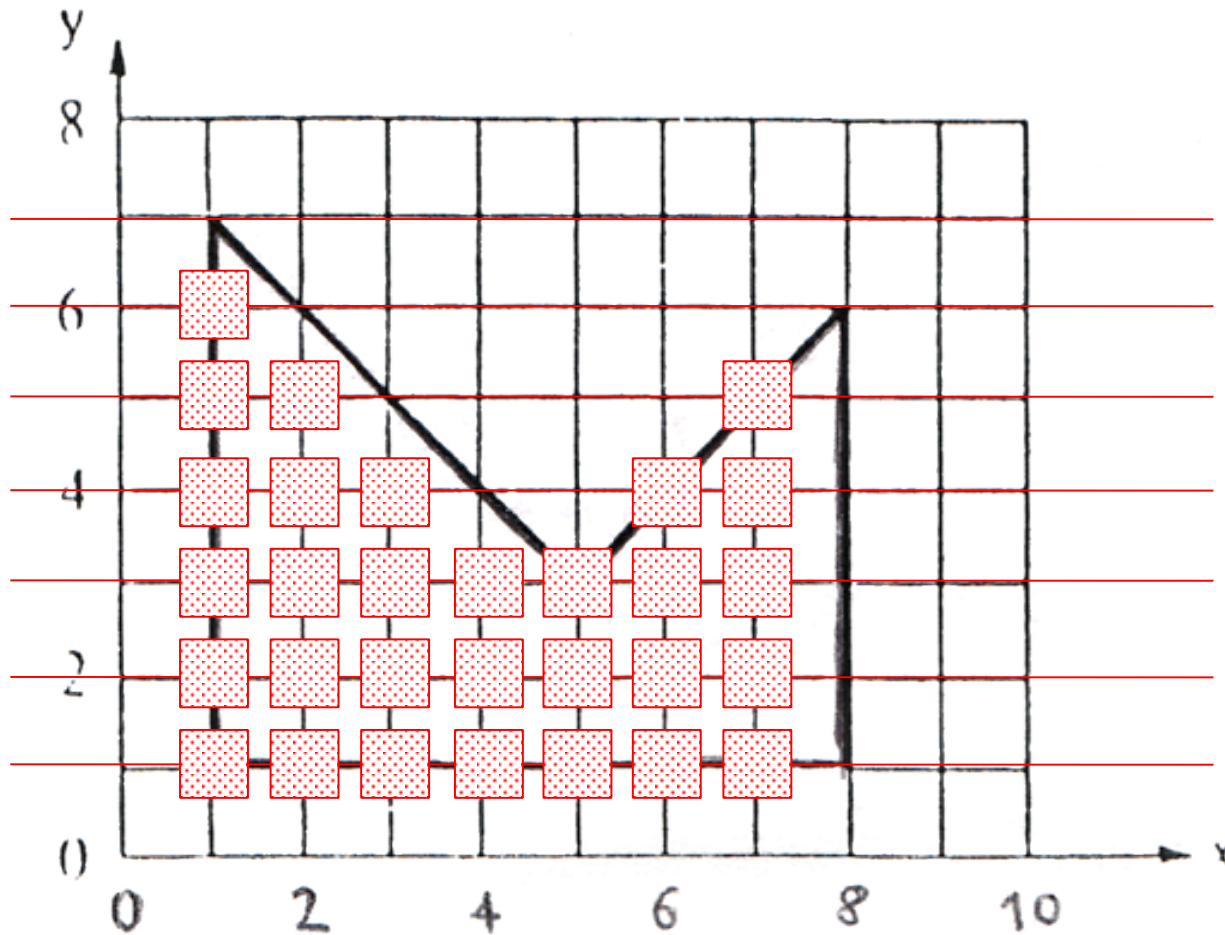
(1,7), (1,7)
(1,6), (2,6), (8,6), (8,6)
(1,5), (3,5), (7,5), (8,5)
(1,4), (4,4), (6,4), (8,4)
(1,3), (5,3), (5,3), (8,3)
(1,2), (8,2)
(1,1), (8,1)



3.4 Füllalgorithmen

Scan-Line-Methode: Scan-Conversion

(1,7), (1,7)
(1,6), (2,6), (8,6), (8,6)
(1,5), (3,5), (7,5), (8,5)
(1,4), (4,4), (6,4), (8,4)
(1,3), (5,3), (5,3), (8,3)
(1,2), (8,2)
(1,1), (8,1)



3.4 Füllalgorithmen

Saatpunkt-Methode / Seed-Fill

- Seed-Fill-Methoden füllen das Gebiet ausgehend von einem **Ausgangspixel** (Saatpunkt, Seed)
- Eignet sich für **pixelweise definierte Gebiete**, also für Rastergeräte
- Man unterscheidet nach der Art der Gebietsdefinition:
 - i. **Boundary-Fill-Algorithmus** für randdefinierte Gebiete
 - ii. **Flood/Interior-Fill-Algorithmus** für inhaltsdefinierte Gebiete

3.4 Füllalgorithmen

Saatpunkt-Methode / Seed-Fill

i. Boundary-Fill-Algorithmus

- Input
 - Startpunkt (Saatpunkt)
 - Farbe der **Begrenzungskurve**
 - Füllfarbe oder Muster
- Algorithmus
 - Wiederhole
 - Vom Startpixel ausgehend werden rekursiv Nachbarpixel umgefärbt
 - Bis Pixel mit **der Farbe der Begrenzungskurve oder bereits umgefärbte Pixel** erreicht werden

3.4 Füllalgorithmen

Saatpunkt-Methode / Seed-Fill

i. Boundary-Fill-Algorithmus

- Input
 - Startpunkt (Saatpunkt)
 - Farbe der **Begrenzungskurve**
 - Füllfarbe oder Muster
- Algorithmus
 - Wiederhole
 - Vom Startpixel ausgehend werden rekursiv Nachbarpixel umgefärbt
 - Bis Pixel mit **der Farbe der Begrenzungskurve oder bereits umgefärbte Pixel** erreicht werden

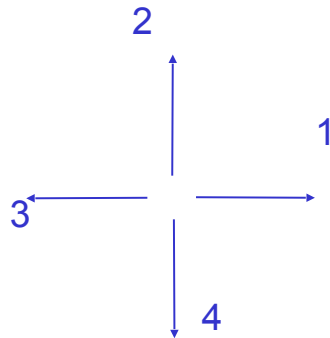
ii. Flood/Interior-Fill-Algorithmus

- Input
 - Startpunkt (Saatkorn)
 - Farbe der **umzufärbenden Pixel**
 - Füllfarbe oder Muster
- Algorithmus
 - Wiederhole
 - Vom Startpixel ausgehend werden rekursiv Nachbarpixel umgefärbt
 - Bis Pixel mit **abweichender Farbe** erreicht werden

3.4 Füllalgorithmen

Saatpunkt-Methode / Seed-Fill

- Einfacher Saatkorn-Algorithmus
 - 4 Bewegungsrichtungen
 - randdefiniertes Gebiet
 - FILO/LIFO-Prinzip (Stack)
- Eventuell werden Pixel mehrfach im Stack abgelegt (und gefärbt)



```
Empty(stack);
```

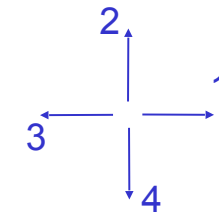
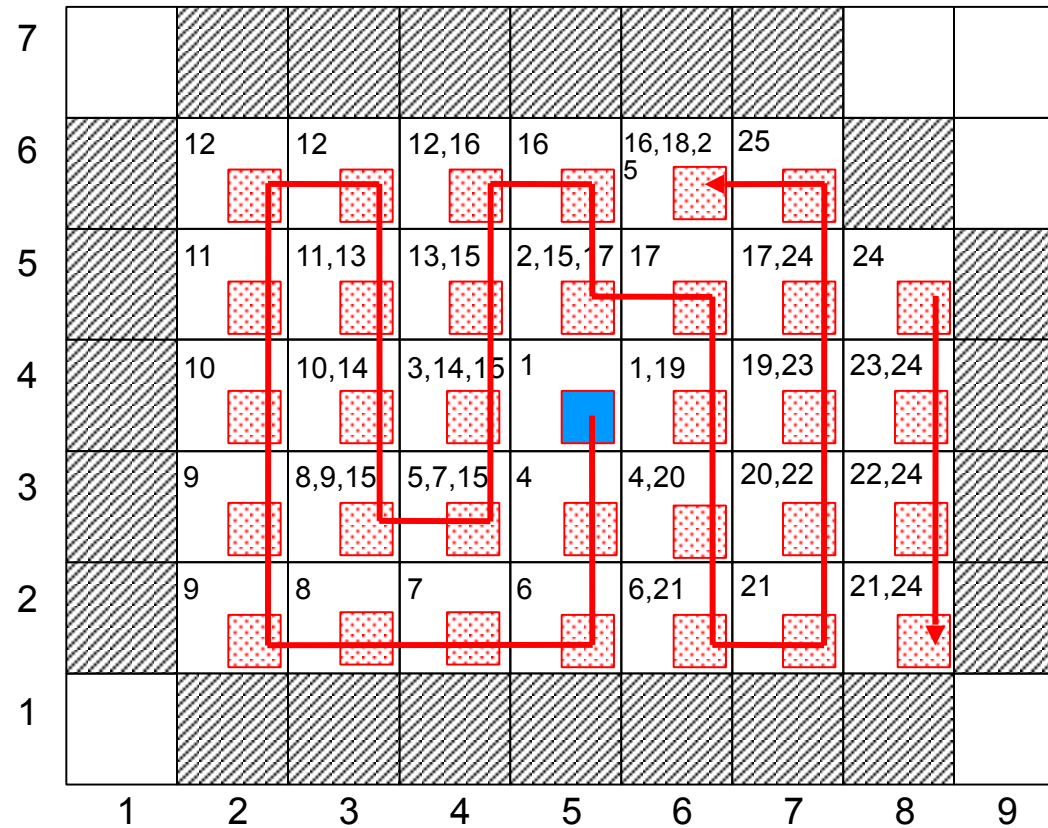
```
Push(stack, seed-pixel);
```

```
while(stack not empty) {  
    pixel = Pop(stack);  
    setColor(pixel, FillColor);  
    for (each of the 4-connected pixels pi) {  
        if (! ((pi == boundary_pixel)  
            || (colorOf(pi) == FillColor))) {  
            Push(stack, pi);  
        }  
    }  
}
```

3.4 Füllalgorithmen

Saatpunkt-Methode / Seed-Fill

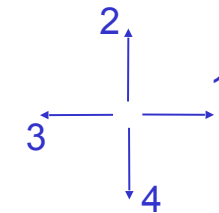
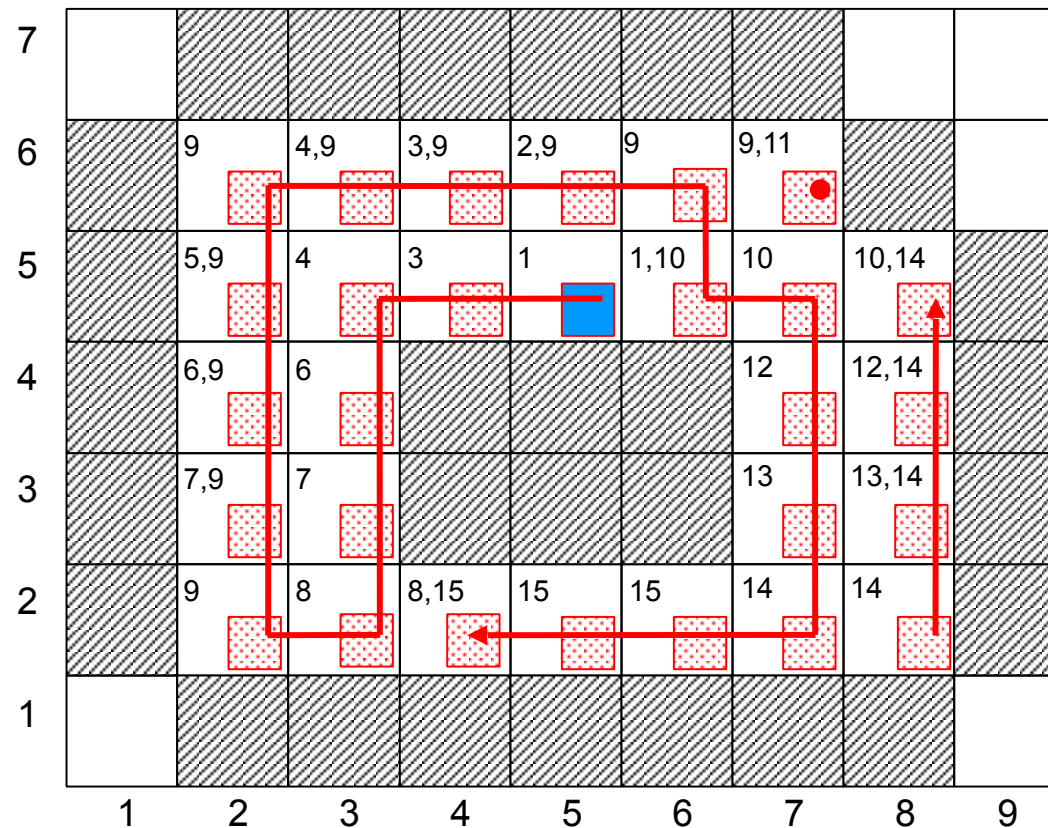
- Zahlen: Position der Pixel im Stack



3.4 Füllalgorithmen

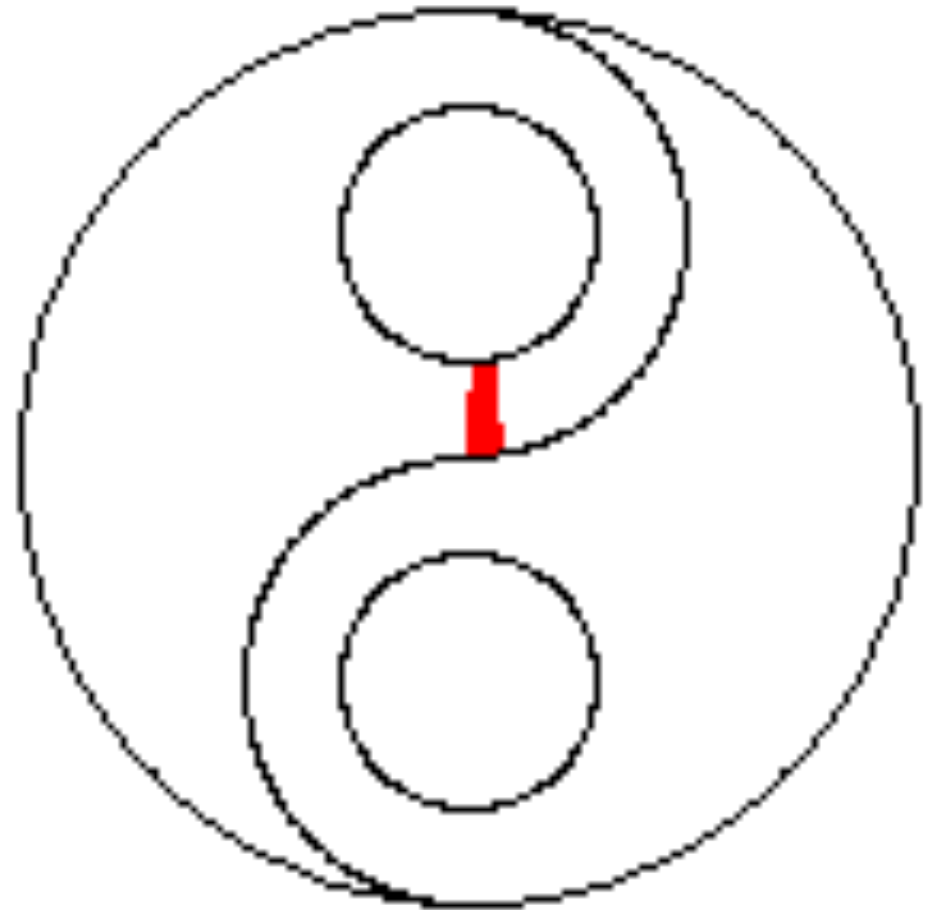
Saatpunkt-Methode / Seed-Fill

- Gebiet mit Loch (Zahlen: Position der Pixel im Stack)



3.4 Füllalgorithmen

Saatpunkt-Methode / Seed-Fill



3.4 Füllalgorithmen

- Hybrid-Methoden
 - verwenden die Ideen der Scan-Line- und Saatpunkt-Methoden gemeinsam
 - Scan-Line-Seed-Fill-Algorithmus

3.5 Aliasing

Aliasing (Signaltheorie)

- Allgemein versteht man unter Aliasing-Effekten
 - die **fehlerhafte Rekonstruktion**
 - eines (kontinuierlichen) Ausgangssignals
 - durch eine Abtastung mit **zu geringer Frequenz** (vgl. Nyquist-Theorem)
- Im Frequenzbereich **bandbegrenzte Signale** müssen mit **mehr als der doppelten Grenzfrequenz** abgetastet werden, um eine exakte Rekonstruktion zu ermöglichen

Aliasing (Computergraphik)

- Visuelle Artefakte durch
 - **Unterabtastung**
(z.B. bei einem Schachbrettmuster)
 - **Rasterkonvertierungseffekte**
(z.B. Treppeneffekte bei schrägen Linien)
 - **Örtliches und zeitliches Aliasing**
(z.B. scheinbar rückwärts drehende Räder)

3.5 Aliasing

Anti-Aliasing-Verfahren

- Methoden um Aliasing-Effekten entgegenzuwirken
 - Überabtastung
 - Filterung
- Ein echtes „Beseitigen“ ist oft (schon theoretisch) **nicht möglich**
 - wenn die Signale **nicht bandbegrenzt** sind
 - eine höhere Abtastfrequenz - also **Überabtastung** vermindert die Alias-Effekte, aber beseitigt sie nicht vollständig
- Bei Artefakten der **Rasterkonvertierung** spricht man von „Verfahren zur (Bild-) **Kantenglättung**“.

3.5 Aliasing

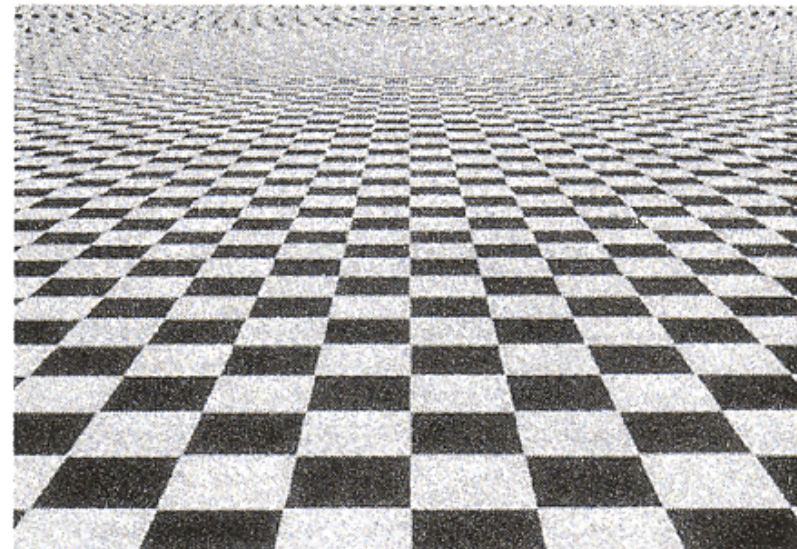
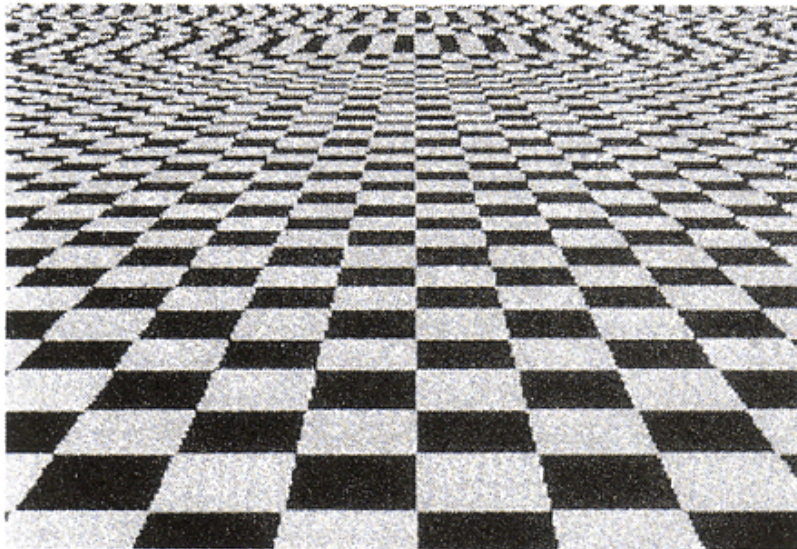
Aliasing-Artefakte in der Computergraphik

- Textur-Artefakte (z.B. Schachbrettmuster)
- Treppeneffekte beim Rastern von Kurven: **Jagged Edges**
- Verschwinden von Objekten, die kleiner als ein Pixel sind
- Verschwinden von langen, dünnen Objekten
- Detailverlust bei komplexen Bildern
- „Aufblinken“ kleiner Objekte bei Bewegungen / Animationen: **Popping**
- Üblicherweise treten visuelle Artefakte auf, wenn die **Periodizität** (zum Beispiel Kachelmuster) in der Textur die **Größenordnung von Pixeln** erreicht
- Es gilt: „Echtes“ Aliasing kann in Computergraphikbildern mittels Überabtastung nicht entfernt, sondern nur verbessert werden (**nicht bandbegrenzt**)

3.5 Aliasing

Textur-Artefakte, unendliches Schachbrettmuster

- Am oberen Ende werden die Quadrate zunächst immer kleiner und dann wieder größer (Aliasing)
- Dies ist ein Ergebnis zu grober Abtastung
- Mittels **zweifacher Überabtastung** (Abtastung mit doppelter Frequenz, d.h. vierfacher Rechenaufwand) können die **Artefakte verringert** werden
- Sie treten aber bei höheren Frequenzen immer noch auf (hier: später, weiter oben)



3.5 Aliasing

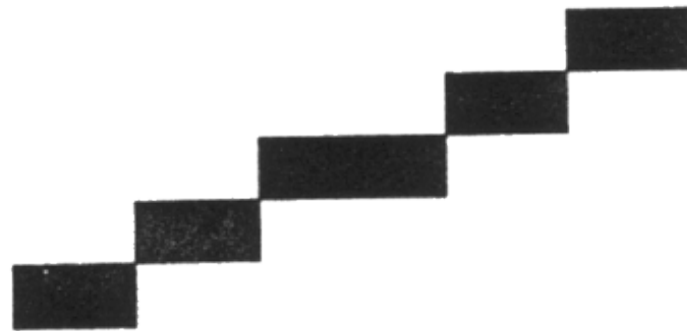
Treppeneffekte, Jagged Edges, Jaggies

- Die bisher beschriebenen Verfahren zur Rasterung von Geraden und Kurven **erzeugen Treppeneffekte**
- Zeichnen von Punkten nur **an Rasterpositionen** möglich
- Diese entsprechen im Allgemeinen **nicht den tatsächlichen** Positionen (Sollpositionen) entsprechen
- Um solchen Aliasing-Effekten entgegenzuwirken, werden **mehrere Intensitäten** zur Erhöhung der visuellen Auflösung benutzt
- Zum Beispiel verwendet eine Variante des Bresenham-Algorithmus für Geraden (im ersten Oktanten) für jeden x-Wert **zwei Pixel mit Grautönen entsprechend eines Abstandmaßes** zur zu zeichnenden Strecke

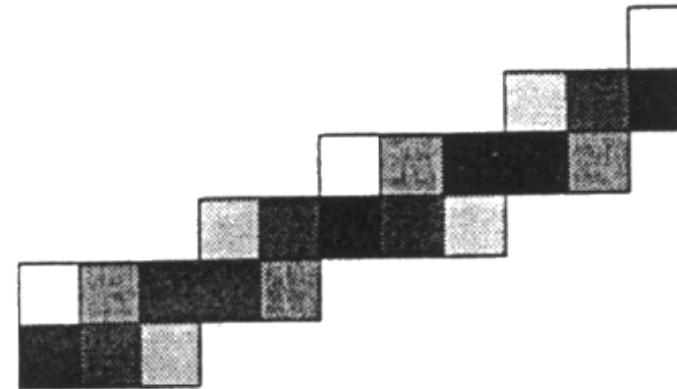
3.5 Aliasing

Treppeneffekte, Jagged Edges, Jaggies

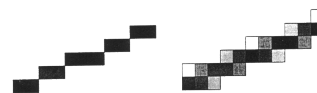
- Treppeneffekte bei einer gerasterten Geraden



- Graustufen, um Treppeneffekte zu verringern



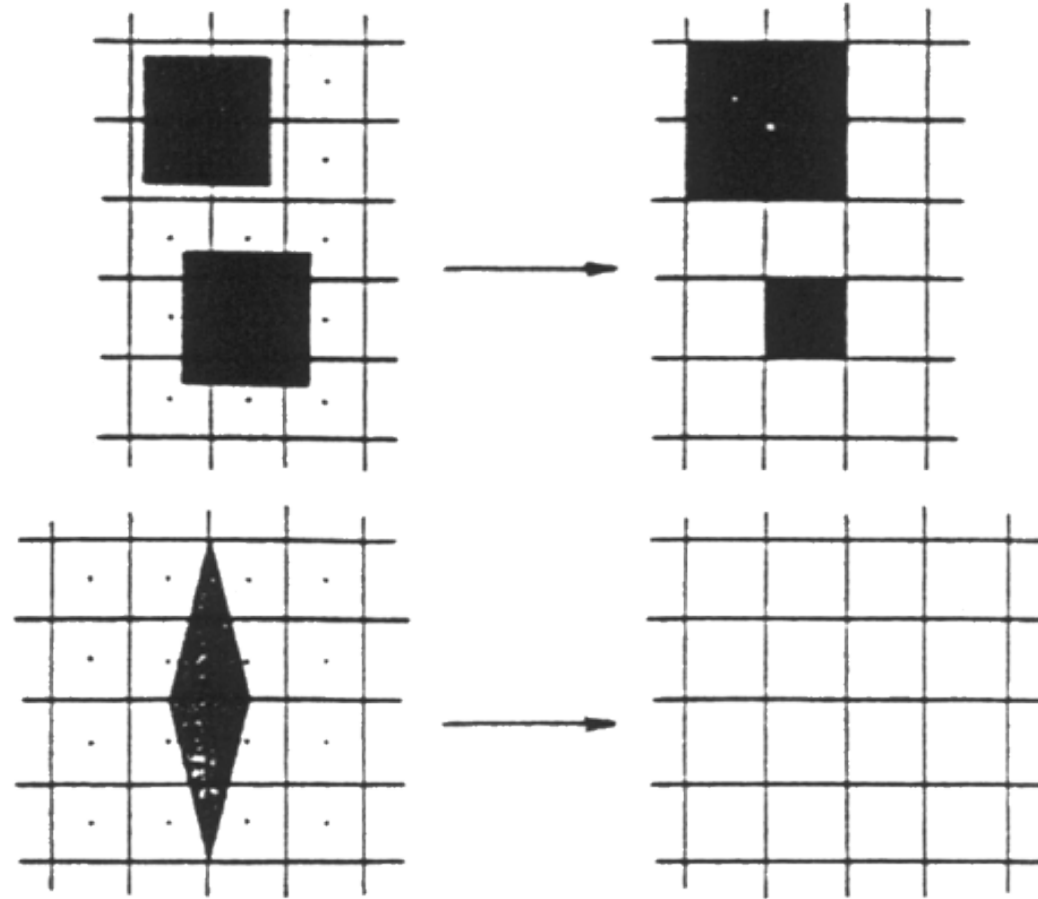
Gegenüberstellung von ungeglättetem und geglättetem Vektor.



Gegenüberstellung von ungeglättetem und geglättetem Vektor.

3.5 Aliasing

Aliasing bei Polygonen



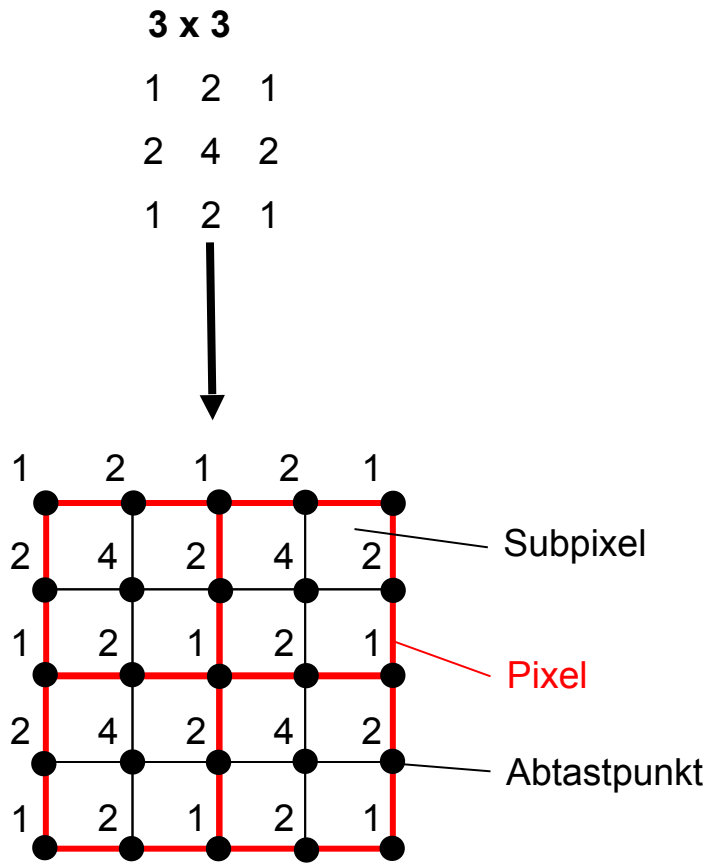
3.5 Aliasing

Anti-Aliasing Verfahren: Oversampling

- Ein einfaches globales Anti-Aliasing-Verfahren
- Andere Bezeichnungen
 - Überabtastung
 - Supersampling
- Jedes Pixel wird mit einer höheren Auflösung berechnet, als es schließlich dargestellt wird
- Das Pixel erhält als eigentliche Grauwertintensität bzw. Farbwert einen gewichteten Durchschnitt der an ihm beteiligten Subpixelwerte
- Dieses Vorgehen entspricht allgemein einem Filterprozess, dessen theoretische Grundlagen in der Digitalen Signalverarbeitung begründet liegen

3.5 Aliasing

Anti-Aliasing Verfahren (Filterkerne [Crow, 1981])



5 x 5

1	2	3	2	1
2	4	6	4	2
3	6	9	6	3
2	4	6	4	2
1	2	3	2	1

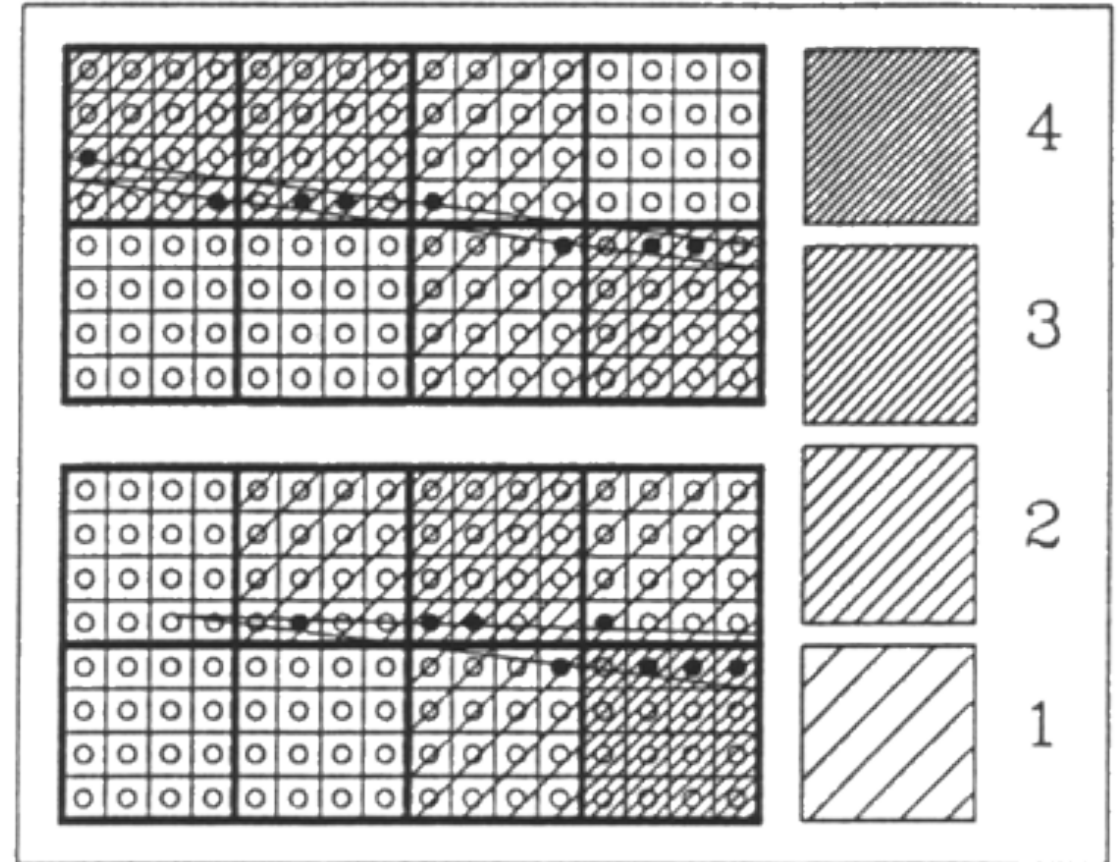
7 x 7

1	2	3	4	3	2	1
2	4	6	8	6	4	2
3	6	9	12	9	6	3
4	8	12	16	12	8	4
3	6	9	12	9	6	3
2	4	6	8	6	4	2
1	2	3	4	3	2	1

3.5 Aliasing

Anti-Aliasing Verfahren

- Abhilfe für dieses Problem schafft erst eine (korrekte) **Berechnung der überdeckten Fläche** im Pixel
- Die praktische Anwendung dieser Methode schließt allerdings eine **exakte analytische Berechnung** der wirklich im Pixel überdeckten Fläche **aus**
- Es existieren hierzu verschiedenste **Näherungsverfahren**
 - Die überdeckte Fläche lässt sich auch durch eine Anzahl entsprechend gesetzter Subpixel angenähert darstellen



3.5 Aliasing

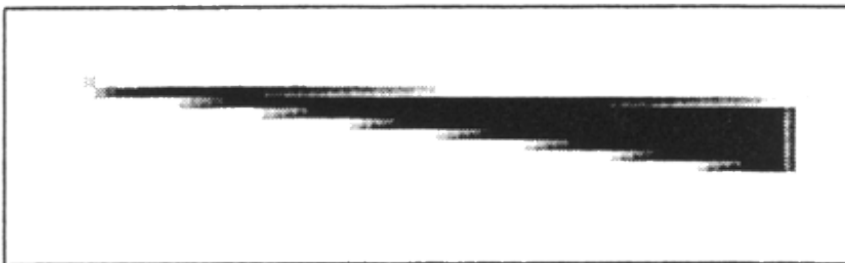
Anti-Aliasing Verfahren (Leistungsfähigkeit der vorgestellten Verfahren)



Spitzes Dreieck ohne Glättung



Spitzes Dreieck mit Oversampling



Spitzes Dreieck mit korrekter Berechnung der überdeckten Fläche

3.5 Aliasing

Anti-Aliasing Verfahren: Stochastische Methoden

- Beim stochastischen Abtasten wird das Oversampling mittels Monte-Carlo-Methoden durchgeführt, d.h. die Grauwerte (Intensität) werden an einigen zufälligen Punkten im Pixel ermittelt und das Ergebnis gemittelt
- Auch bei der Berechnung der vom Polygon im Pixel überdeckten Fläche können Monte-Carlo-Methoden eingesetzt werden
- Stochastische Methoden
 - erhöhen die Effizienz (schnellere Berechnung)
 - neigen aber z.B. zu Problemen bei Animationen, da Objekte flimmern können

Quellen

- Computergraphik, Universität Leipzig
(Prof. D. Bartz)
- Graphische Datenverarbeitung I, Universität Tübingen
(Prof. W. Straßer)
- Graphische Datenverarbeitung I, TU Darmstadt
(Prof. M. Alexa)